

## بتروغرافيا وجيوكيمياء الصخور المتحولة

### الأمفيبوليتيّة المرافقة

لأوفيليت منطقة الباير - البسيط (شمال غرب سوريا)

عبد الرحمن بن محج الدين سفرجلاني

جامعة الملك فيصل - كلية العلوم الزراعية والأغذية ص ب : ٤٢٠ - قسم الأراضي والمياه  
الأحساء ٣١٩٨٢ - المملكة العربية السعودية.

جامعة دمشق - كلية الزراعة - قسم التربية واستصلاح الأراضي - دمشق ص . ب: ٣٠٦٢١  
الجمهورية العربية السورية.

### الملخص :

تمحّد الدراسة البتروغرافية للعينات الصخرية الأمفيبوليتيّة المأخوذة من منطقة الباير البسيط البنيات والنسيج المتباينة فيها إضافة إلى محتواها الفلزوي ومن ثم تصنيفها و تسميتها، فلدي إسقاط المحتوى الفلزوي للعينات الصخرية المدرّوسة على المخطّطات التصنيفية الخاصة بالصخور المتحولة والمعدة من قبل الباحث (LORENZ) (Mineral paragenesis) المحدّد للعينات المدرّوسة يتوافق التراّفق المنشئ الفلزوي مع سحنة الشيست الأخضر ويمتد حتى سحنة الأمفيبولييت. حددت نتائج تحليل فلزوي للبلاجيوكلاز والهورنبلند للعينات الصخرية الأمفيبوليتيّة المدرّوسة شروط تحول متوقّعة مع التجمع الفلزوي ، تتراوح ما بين 500 - 650 م للحرارة و 2,5 - 5 كيلو بار للضغط.

أظهرت الدراسة الجيوكيميائية للعينات الصخرية الأمفيبوليتيّة بشكل واضح أن المادة الأولى لهذه الصخور هي مادة مهليه المنشأ (Orthogenetic) بازلية الخصائص طازجة غير فاسدة و ثلوجيّة التركيب، تشكّل جزء منها في منطقة القيعان الحيطية والآخر في منطقة الأقواس الجزرية.

**المقدمة :**

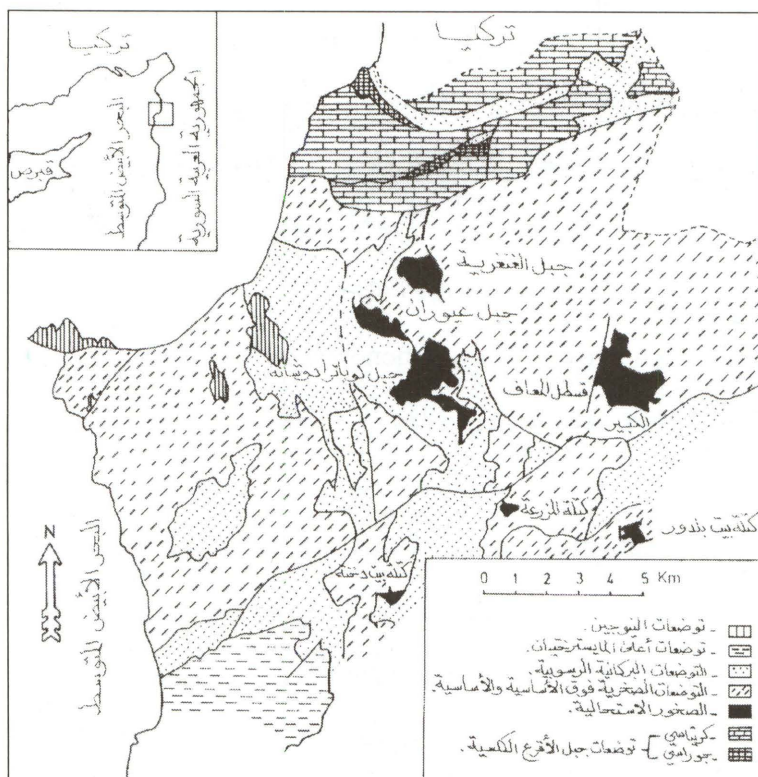
تقدير مساحة منطقة الباير — البسيط الواقعة شمال غرب سوريا بـ 180 كم<sup>٢</sup> حيث يحدها شمالاً جبل الأقرع وجنوباً وشرقاً نهر الكبير الشمالي وغرباً البحر الأبيض المتوسط وتمثل منطقة جبلية متوسطة الارتفاع.

أعاد الباحث (Juteau,1980) المعهد الأوقيوليتي المتكشف في منطقة الباير — البسيط إلى الحزام الأوقيوليتي الجنوبي والذي يشكل الجزء المركزي للقوس الأوقيوليتي الممتد من قبرص الباير والبسيط — إنطاكيه وجبل الأكراد (Parrot,1977). تعود مجموعة الصخور الأوقيوليتيه المتكشفة في منطقة الباير — البسيط حسب الباحث (Parrot,1977;Parrot,1980) لأجزاء من قشرة محيطية تشكلت في مقعر التيتيس انتقلت من الشمال إلى الجنوب منحرفة ومتراکبة على الطرف الشمالي الغربي للسطحية العربية أثناء الحركات الأورو جينية الألبية النهائية في عصر المايسترختيان وقد تشكلت على هيئة مجموعة من الأغطية الجرفية والتي تعرضت لاحقاً في العصر الثالث والرابع لمجموعة من الحوادث التكتونية أعطتها الشكل الجيولوجي الحالي.

تتواجد الصخور المتحولة في منطقة الباير — البسيط بشكل رئيس في ثلاثة أماكن هي: جبل الغنغرية (35,52 شمالي و 35,55 شرقي) وجبل عبوران (35,51 شمالي و 35,55 شرقي) وجبل كوباترا دوشانه (35,50 شمالي و 35,55 شرقي) كما تتوارد في أقصى الجزء الجنوبي من المعهد الأوقيوليتي على امتداد منطقة فالقية باتجاه غرب — شرق من بيت دخنه شمال قرية بسقين إلى المزرعة وأخييراً بيت بلدور (شكل ١).

متوسطة تحت مجموعة الصخور القاعدية والفق القاعدية (بيريدوتيت- بيروكسينيت- سربنتينيت وغابرو) بتجانس واضح دون أية تشوهات أو ظواهر عمليات الزحن وباتجاه عام هو SE (Dubertret, 1953 NW)، وبسمكها تتراوح ما بين 5 م و تقدر وسطياً بـ 50 م وتشغل مساحات محدودة تتراوح ما بين 3 كم . ٢. تشكل كافة الصخور المتحولة حسب تقسيمات (Kazmin and Kulakov, 1968) و (Parrot, 1980) التكتونية والليثولوجية لمنطقة الباير - البسيط إحدى الوحدات الرئيسية التابعة لمجموعة صخور العقد الأوفيليني وتعتبر صخور الأمفيوليت ، الرخام ، الكوارتزيت ، البيروكسينيت ، الغنais والميكايشيت من أهم السحنات الصخرية المتحولة والتكشفة في المنطقة هذا وتمثل الصخور الأمفيوليتيه الجزء الرئيس بالنسبة للأنواع الصخرية المتحولة الأخرى كما وتظهر تنوعاً بتروغرافياً كبيراً (Whitechurch and Parrot, 1974) و (Majer, 1962) و (Chenevoy, 1959) . يعيد كل من (Dubertret, 1953) و (Chenevoy, 1959) و (Kazmin and Kulakov, 1968) مجموعه الصخور المتحولة إلى عصر البريكاميري بينما يعتقد (Piro, 1967) أنها تعود بعمرها لعصر الباليوزويك ويفترض أن تكون أقدم من السيلور مؤكداً بذلك افتراض الباحث (Majer, 1962) عودة الصخور المتحولة إلى أسفل أو أوسط عصر الباليوزويك . تقدر نتائج تحديد العمر المطلق لحادثة التحول وفق طريقة Ar K لتشكيلة الصخور المتحولة للباحث (Thuizat et al., 1981) بـ 38+3 MJ وحسب (Delaloye et al., 1980) بـ 90 MJ أي للحد الفاصل جوراسي / كريتاسي . لقد أوضح (Parrot, 1978) أن جميع التوضيعات الصخرية المتحولة المتواجدة في منطقة شرقي المتوسط تعود لسحنة الشيست الأخضر وسحنة الأمفيولييت مع الأخذ بعين الاعتبار بأن حدث التحول تم في الجزء الداخلي الحيطي لمنطقة بنیوف الإنغراسي قبل

عملية التراكب على السطحية العربية أو تم أثناء عملية الجرف والطي ضمن سحنة الشيست الأخضر والأمفيبوليت . كما ويشير الباحث (Whitechurch and Parrot,1974) إلى إمكانية تشكل الصخور المتحولة نتيجة تحول جزء من مجموعة الصخور الرسوبية البركانية ضمن سحنة متوسطة الشدة تتراوح ما بين سحنة الشيست الأخضر وسحنة الأمفيبوليت .



شكل - ١: الخريطة الجيولوجية لمنطقة الباير - اليسيط ، توضح انتشار الصخور المتحولة المدرستة عن الباحث (Parrot,1977)

## هدف البحث :

تهدف الدراسة الوصفية (البتروغرافية) للصخور الأمفيبيوليتية المدروسة إلى تحديد أنواعها المختلفة وتحديد محتواها الفلزى الحقيقى والبنيات والنسج المتباينة بها ثم تصنيفها وتسميتها اعتماداً على تصنيف الباحث (Lorenz, 1980; 1981a; 1981b) وتحديد الأنواع الفلزية والبنيات أولية النشأة إن وجدت ، كما تهدف الدراسة الجيوكيميائية للعينات المدروسة بشكل رئيس إلى تحديد طبيعة المادة الأولية الصخرية (الأم) فيما إذا كانت تمثل طبيعتها صخورا رسوبية (Paragenic) أو أنها تمثل صخورا مهليه اندساسية أو مختربة (Orthogenic) وفي حال الأصل المهمي يجب تحديد طبيعة المهل الأصلية وتحديد درجة تفاضلها والتتأكد من أنها طازجة وأخيرا تحديد الموقع الجيوتكتوني الأولى الذي تشكلت فيه هذه الصخور.

## طرائق التحليل :

شملت الدراسة البتروغرافية 140 شريحة صخرية مجهرية درست باستخدام المجهر الاستقطابي من نوع Pol Laborlux-12 ، كما استخدام جهاز التعداد الفلزى Eltinor-4 من أجل حساب التركيب الفلزى الحقيقى وذلك بإتباع طريقة العد النقاطي للباحث Glakov ( المسافة بين نقطة وأخرى كانت تحدد بشكل أساسى حسب أبعاد الحبيبات الفلزية الموجودة في كل عينة). تم تحليل فلزى الهورنبلند والبلاجيوكلاز بالطريقة النقاطية باستخدام جهاز الميكروبروب من نوع (JXA-480A) والموصول مباشرة بال محلل من نوع (KEUX EDS) ، على شرائح صخرية مجهرية خاصة ذات أبعاد (٢-٢ مم) ملصقة بمادة (Epoxi-Hart) ، هذا وتمثل كل نتيجة قياس متوسط ٥-٣ قياسات نقطية، قورنت نتائج تحليل الهورنبلند بعينة معيارية فلزية من نوع (كيرسوتيت- Fa-Astemex) بينما قورنت نتائج تحليل البلاجيوكلاز بعينة عيارية صناعية

بلغ زمن التحليل النقطي الواحد ١٥ ثانية مع جهد تيار كهربائي Kv١٨ ومقاومة ٠١٠ a (جدول: ٢-١). لقد تم تحديد العناصر الكيميائية الرئيسية والثانوية للعينات الصخرية الأمفيبوليية بواسطة جهاز X-ray fluorescence Spectrometry (XRF) وذلك بتحضير Schmelztableten وبوجود عنصر مضاد هو ثالث أوكسيد اللانthanium trioxide. حدد عنصر الفوسفور P باتباع طريقة قياس المطيافية الضوئية Spektrophotometry بينما تم تحديد نسبة كل من عنصري البوتاسيوم K والصوديوم Na بواسطة جهاز Atomic absorption spectrometry (AAS). وقد أدخلت عينة مقارنة معيارية ذات تركيب بازلتي وذلك من أجل التأكد من موثوقية ودقة التحليل (جدول: ٣-٤).

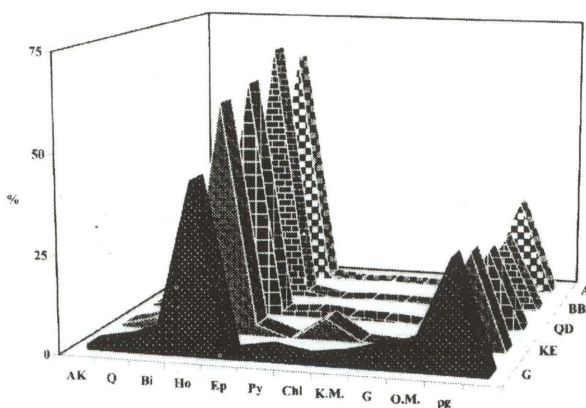
## الدراسة البتروغرافية :

تم تحديد انتشار الصخور المتحولة وامتدادها في منطقة الباير - البسيط لأول مرة من قبل الباحث Dubertret (1953) كما وتتمثل دراسة Chenevoy (1959) البتروغرافية لمجموعة الصخور المتحولة قاعدة الأساس لكافة الدراسات الجيولوجية اللاحقة التي تناولتها مثل: (Majer, 1962), (Piro, 1967) و (Whitechurch, 1977). قسم كل من الباحثين Kazmin and Kulakov (1968) نتيجة للمشاهدات الحقلية الصخور المتحولة المنتشرة في منطقة الباير - البسيط إلى مجموعتين رئيستان هما:

- صخور متحولة متطبقة وتضم: شيست ميكاوي ، كوارتزيت ، رخام ، تعود في الأصل إلى صخور رسوبية بركانية مختلفة.
- صخور متحولة كتليلية وتضم: شيست أمفيبوليتي - أمفيبولييت - أمفيبولييت غابروي المظهر - إيبيدوت أمفيبوليتي - بيوتيت أمفيبوليتي ، تعود أصلاً إلى صخور مهليه بركانية الطبيعة.

يتراوح لون الصخور الأمفيبوليتيه المدروسة ما بين اللون الرمادي - الرمادي المخضر (الزيتوني) و حتى اللون الأسود القاتم كما تباين أبعاد حبيباتها الفلزية وتتراوح مابين الحبيبة الناعمة إلى المتوسطة الأبعاد مع نسيج كتلي إلى شبه منضد وبنية غرانوبلاستية إلى نيماتوبلاستية ، يظهر في العديد من العينات تناوب لرقائق أو أسرة (أشرطة) قائمة مع أخرى فاتحة اللون ذات أبعاد ميلليمترية إلى سنتيمترية .

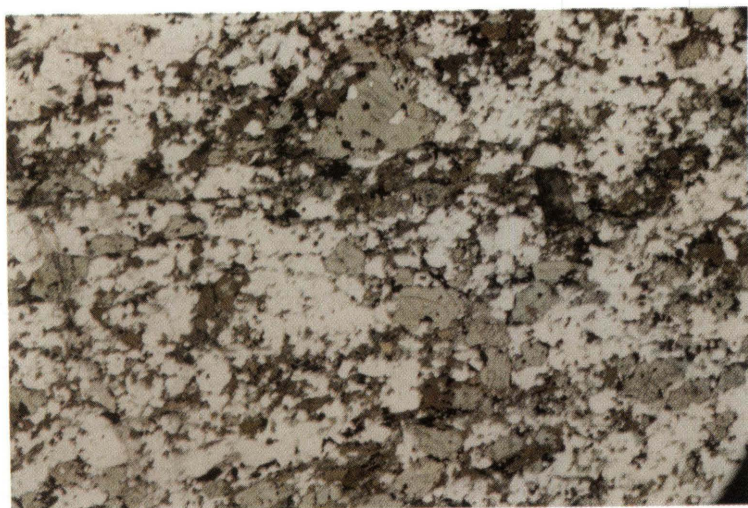
تألف الصخور الأمفيبوليتيه بشكل أساسى من فلزين رئيسين هما الهرنبلند والبلاجيو كلار علما أن النسبة بينهما تكون شديدة التباين ، يضاف إليهما الفلزات الثانوية التالية : الكوارتز - البيوتيت - الكلوريت - البيروكسین - الغرينا - الإيبيدوت - الفلزات المعدنية والفلزات الإضافية مثل : التيتانيت الأباتيت - الروتيل والزيركون هذا ويوضح (شكل 2 ) متوسط المحتوى الفلزى الحقيقى لكل منطقة من مناطق الدراسة.



شكل متوسط المحتوى الفلزى الحقيقى للصخور الأمفيبوليتيه المنتشرة في منطقة الباير - البسيط.  
 HO - هرنبلنده ، Pg - بلاجيو كلار ، Q - كوارتز ، Ep - إيبيدوت ، G - غرينا ، Py - بيروكسین ، Bi - بيوتيت ،  
 Chl - كلوريت ، O.M. - فلزات معدنية ، Ak - فلزات إضافية ، K.M. - فلزات كربوناتية). وذلك في الواقع المواقع  
 - الغرغفية ، KE - الكبير ، BB - بيت بلدور ، QD - كوباترادوشانه ، A - عبوران)

عند إسقاط محتوى العينات المدروسة من الفلزات (فلديبار - هورنبلند - كوارتز) على مخطط (Lorenz, 1981a; 1981b) التصنيفي المعد بشكل خاص من أجل تصنیف الصخور المتحولة، وجد أنها تتمرکز في القطاع المخصص للصخور الأمفيبوليتيه ، يشذ عن ذلك العينة BB-13 حيث تقع على الحد الفاصل بين المجال المخصص لصخور كوارتز أمفيبولييت و المجال المخصص لصخور أمفيبولي غنايس وذلك بسبب ارتفاع نسبة فلز الكوارتز بها (Safarjalani, 1996).

**الهورنبلند :** تتباین نسبة تواجد فلز الهورنبلند في العينات الأمفيبوليتيه المدروسة بشكل كبير فهي 22,4% في العينة G-12 و 77,6% في العينة B-14 و غالبا ما تأخذ بلوراته أشكالا هيبيديوبلاستية وبشكل أقل إيديوبلاستية إلى كسينوبلاستية تتواجد على هيئة قضبان أو أعمدة ومواسير قصيرة أو متطاولة تتراوح بأبعادها ما بين 0,10 - 3,5 مم . يتمتع الهورنبلند بلون أخضر فاتح إلى أخضر مصفر وأحياناً بني مخضر مع تعدد لوني يتراوح من الأخضر الفاتح المصفر(nx) إلى الأخضر الزيتوني لقائم (ny=nz) أو من البني الفاتح المخضر (nx) البني المخضر (ny) وحتى البني المخضر القائم (nz) (شكل 3)، تتصف الأعمدة أو مواسير الهورنبلند متوازية وموازية بشكل عام لاتجاه التورق مشكلة بذلك بنيات نيماتوبلاستية واضحة مع نسيج ناعم التورق (شكل 4)، كما يشكل الهورنبلند في بعض العينات المدروسة بنيات غرانوبلاستية تلتتصق أحياناً مع فلز البلاجيو كلار مشكلة بذلك بنيات ديبلاستية واضحة ذات نسيج كتلي، ويلاحظ في الكثير من الحالات إحتواء حبيبات الهورنبلند المتوسطة إلى الكبيرة الأبعاد على مكتنفات فلزية أخرى مثل البيوتيت ، الكلوريت ، الكوارتز ، البلاجيو كلار ، التيتانيت أو فلزات معدنية مشكلة بذلك بنيات بوكييلوبلاستية إلى ميكرو بوكييلوبلاستية (شكل 5) ،



شكل - ٣ - صخر أمفيوليت ناعم الحبيبة مع كوارتز و مع قليل من الكلوريت والبيوتيت مع بنية نيماتوبلاستية، يشكل توزع حبيبات البلاجيوكلاز والمورنيلنديما بينهما بنيات دبابلستية، عينة A - X ٣٢ تكبير ن بدون محلل



شكل - ٤ : صخر أمفيوليت ناعم إلى متوسط الحبيبة مع قليل من الكوارتز ، تترافق حبيبات المورنيلنديما موازية بعضها البعض مشكلة بذلك بنية نيماتوبلاستية واضحة، عينة BB - ٣ ، تكبير X ٣٢ ، مع محلل (+)

تبدي حبيبات الهورنبلند في الكثير من العينات مقاطع قاعدية مع اكتمال لشبكة السطوح الانفصامية بشكل واضح حسب الوجه (110) و اكتمال لزوايا الانفصام 124 و 56 ، هذا و يشاهد أحياناً وبشكل واضح مواشير الهورنبلند الممتنطة ، كما يشاهد في العديد من المقاطع المجرية الصخرية المدروسة انفصالات وإنشقاقات فلزية معدنية تتوضع غالباً على الخطوط الانفصامية و تفسر هذه الظاهرة من قبل العديد من الباحثين على أنها نتاج عملية أكسدة للهورنبلند. تترواح قيمة الانكسار المضاعف للهورنبلند ما بين 0,015 - 0,026 مع قيم لزوايا التعتم تترواح ما بين 8-25 وبشكل وسطي 12 مما يؤكّد أن الهورنبلند المدروس هنا هو من نوع Gemeine Hornblende. تقود نتائج تحليل الهورنبلند إلى تحديد توزع العناصر الكيميائية في بنيتها البلورية كما هي مقرحة من قبل الباحث (Leake,1978) حيث قدرت نسبة  $Fe^{+3}/Fe^{+2}$  حسابياً حسب طريقة الباحث (Papike et al.,1974) إلى تصنیف الهورنبلند المدروس ضمن مجموعة الهورنبلند الكلسي وذلك بسبب اغتنائه بعنصر الكالسيوم و تحقیقه للعلاقة  $X = \frac{Ca + Na}{Na + K} = 1.34$  و يمكن الحصول على تقسيمات أخرى أدق ضمن هذه المجموعة إذا ما أخذنا بعين الاعتبار الاختلافات والفرودات في نسبة محتوى عنصري (Na+K) في الموقع A والعلاقة  $Al_{(6)}/Fe^{+3}$  و محتوى عنصر (Z) و عنصر (Y) مقابل نسبة  $A = \frac{Ti + Al}{Na + K}$  . إن إسقاط قيمة (4)  $Al / (Na + K)$  على مخطط الباحث (Leake,1978) توضح أن الهورنبلند المدروس يقع في المجال المخصص لمجموعة الهورنبلند من نوع Hastingsit (Tschermarkit) (Safarjalani,1996) حسب جدول (1).

**البلاجيوكلاز:** تتفاوت نسبة تواجد فلز البلاجيوكلاز في العينات الصخرية الأمفيبوليتيه المدروسة ما بين 22,1 % - 28,4 % ، تأخذ حبيبات البلاجيوكلاز ألواناً رمادية فاتحة

مغيرة وتتراوح أبعادها ما بين 0,20 مم و 0,85 مم وبشكل وسطي 0,60 مم . يلاحظ عموماً نوعان من **البلاجيوكلاز** يميزان جيلين من التشكّل هما :

**البلاجيوكلاز الأولي** : وهو بلاجيوكلاز القديم ويشكل النسبة الكبيرة من البلاجيوكلاز الكلي ويلاحظ في كافة العينات الأمفيوليتية المدرّوسة ويُسمّى بأنه شديد التفسخ والفساد ، متحولاً إلى سوسوريت وسيريسبيت بنسب متفاوتة كما يتميز بانعدام التوائم به و تكون حبيبات **البلاجيوكلاز** هنا غالباً كسينوبلاستية الشكل وبشكل أقل هيبيديوبلاستية صغيرة إلى متوسطة الأبعاد ، تحتوي بعض حبيبات **البلاجيوكلاز** المتوسطة أو الخشنة أحياناً مكتنفات فلزية أخرى مثل الاهورنبلند، إيبيدوت ، الكوارتز ، النيتانيت أو الفلزات المعدنية وحتى الكربوناتية وتشكل بنيات بويكيلوبلاستية ، تشير نتائج تحاليل **البلاجيوكلاز** بواسطة جهاز الميكروبروب (Safarjalani, 1997) إلى محتوى من الأنورتيت يتراوح ما بين 42% - 66%  $An =$  أي من نوع آنديرين لابرادوريت (جدول-٢). **البلاجيوكلاز الثانوي**: وهو بلاجيوكلاز الحديث ، يشاهد في بعض العينات الأمفيوليتية المدرّوسة و يتواجد غالباً على شكل حبيبات صغيرة الأبعاد 0,08 مم إيديوبلاستية الشكل وبشكل أقل شيئاًً شيوعاً هيبيديوبلاستية. كما يتميز بأنه طازج غير فاسد ويظهر توائم متكررة واضحة حسب نظام الأليت أو البيريكلين.

**الكوارتز** : يتواجد فلز الكوارتز في العينات الصخرية الأمفيوليتية بنسب ضئيلة ومتفاوتة تتراوح ما بين 2,8% - 4,3% ، تتفاوت أبعاد حبيبات الكوارتز ما بين 0,06 - 0,50 مم وبشكل أعظمي 1,2 مم وتبعد في النطاقات والأسرة فاتحة اللون على شكل حبيبات كسينوبلاستية الشكل دائرية إلى إهليلجية أو زاوية تتوزع ما بين المكونات الفلزية الأخرى أو تتواجد على شكل مكتنفات فلزية في **البلاجيوكلاز** والاهورنبلند



شكل - ٥ : صخر أمفيبوليتي متوسط إلى خشن الحبيبة مع قليل من الكلوريت - البيوتيت والكوارتز، يلاحظ في الشكل حبيبات المورنيلند متوسطة الأبعاد ذات البنية البويكيلوبلاستية مع الأنثاقات المعدنية، عينة ٦ - G  
تكبير ٢٠ X ، بدون محلل (-)



شكل - ٦ : صخر أمفيبوليتي متوسط الحبيبة مع كربونات - إيبيدوت - كلوريت - البيوتيت - وكورتر في الجزء اليميني للشكل يلاحظ حبيبات الكربونات متوسطة الأبعاد ذات البنية الموزائكية تتبع ببطاق مؤلف من حبيبات الغرينا كستنائية اللون ، عينة ٦ - G ، تكبير ٢٠ X ، بدون محلل (-)

جدول رقم (١) التركيب الكيميائي للفاز المهرنيلن - أفيغوليت منطقة البالير والبسبيط (سورية)

Lok	G	G	G	KE	KE	KE	KE	BB	BB	QD	A	A	A	A	A	A
Pro	G	G	G	KE10	KE12	KE13	KE14	BB9	BB10	QD4	A2	A3	A4	A5	A6	A7
SiO2	G6	G12	G13	44.85	54.65	46.81	42.05	48.42	49.17	43.22	49.87	45.68	50.20	46.25	42.72	47.07
Ti02	45.50	44.85	54.65	46.81	42.05	48.42	49.17	43.22	49.87	45.68	50.20	46.25	42.72	47.07	47.07	47.07
A1203	1.54	0.66	1.39	1.16	2.09	1.90	0.78	1.12	0.65	1.24	0.72	1.96	2.04	2.82		
Fe203	11.97	13.95	11.65	9.75	13.08	11.30	9.78	13.23	9.89	12.27	15.25	11.18	13.39	11.65		
Mg0	0.70	3.51	0.77	0.77	3.86	1.93	0.72	1.04	0.041	0.90	1.00	1.34	1.05	0.00		
Ca0	18.79	14.58	13.20	13.14	10.71	15.30	13.18	3.64	18.29	14.37	12.97	13.90	10.77	12.43		
Fe0	12.17	11.51	12.60	12.38	12.05	11.56	12.62	11.91	12.15	11.95	12.37	12.32	12.10	11.58		
Na20	11.98	9.47	12.87	13.21	10.90	6.94	13.37	17.77	7.01	10.74	7.51	10.35	14.81	11.95		
K20	1.72	1.60	1.82	1.21	1.49	0.94	1.11	1.49	1.60	1.99	2.15	1.89	1.44			
Summe	0.79	0.26	0.96	0.91	1.15	0.41	0.33	1.94	0.46	0.60	0.10	0.14	1.32	1.05		
Kation=25(0)	100.1	100.4	100.2	100.1	100.4	100.2	100.1	100.4	100.0	100.1	100.0	100.1	100.1	100.1	100.0	100.0
Si	Al44	6.50	6.35	6.55	6.72	6.14	6.71	6.95	6.38	6.90	6.49	6.87	6.58	6.24	6.68	
Summe (z)	1.50	1.65	1.45	1.28	1.86	1.29	1.05	1.62	1.11	1.51	1.14	1.42	1.76	1.32		
Al1(6)	8.00	8.00	8.00	8.00	8.00	8.00	8.00	8.00	8.00	8.00	8.00	8.00	8.00	8.00	8.00	8.00
Fe3	0.52	0.61	0.52	0.87	0.40	0.64	0.60	0.68	0.51	0.54	1.32	0.45	0.55	0.63		
Ti	0.08	0.37	0.00	0.08	0.43	0.20	0.08	0.12	0.04	0.10	0.00	0.14	0.12	0.00		
Mg	0.16	0.07	0.15	0.17	0.23	0.20	0.08	0.12	0.07	0.13	0.07	0.18	0.22	0.30		
Fe2	2.94	3.08	2.82	2.87	2.33	3.16	2.78	1.90	3.77	3.12	2.46	2.95	2.35			
Summe (y)	1.31	0.87	1.51	1.50	1.62	0.80	1.46	2.18	0.62	1.12	0.86	1.27	1.77			
Fe	5.00	5.00	5.00	5.00	5.00	5.00	5.00	5.00	5.00	5.00	4.90	5.00	4.99			
Ca	0.12	0.25	0.04	0.08	0.01	0.00	0.01	0.20	5.16	0.00	0.02	0.04	0.00			
Al	1.86	1.75	1.94	1.90	1.98	1.72	1.92	1.88	1.80	1.82	1.18	0.89	1.76			
Summe (x)	0.02	0.01	0.02	0.03	0.27	0.08	0.11	0.02	0.19	1.10	0.07	0.24				
Na	2.00	2.01	2.00	2.00	2.00	2.00	2.00	2.00	2.00	2.00	2.00	2.00	2.00			
K	0.46	0.43	0.48	0.32	0.39	0.25	0.22	0.32	0.34	0.53	0.04	0.49	0.47	0.16		
Summe (A)	0.14	0.11	0.18	0.17	0.21	0.07	0.06	0.37	0.09	0.11	0.02	0.07	0.25	0.19		
	0.61	0.54	0.66	0.49	0.60	0.32	0.28	0.69	0.43	0.64	0.06	0.56	0.72	0.35		

**جدول رقم (٢) الترتيب الكيميائي لفلز الداجوكلان - أمفيوليت منطقة البابير والبسط (سورية)**

Lok.	G												A												
Pt-Nr.	G6	G12	G13	KEl10	KE12			KE13			BB9	BB13			QD4			A2	A8	A14			A15	A17	
	P1	P1	P1	P1	P2	P3	P1	P2	P1	P1	P1	P1	P1	P1	P1										
Si02	69.68	56.88	60.92	52.25	51.44	47.98	53.09	57.59	55.73	64.63	60.92	52.00	59.43	60.37	59.52	52.53	52.47	64.31							
Al2O3	20.92	20.39	19.99	20.01	29.51	33.56	27.15	23.75	28.26	20.33	19.99	28.67	22.95	22.88	23.27	29.12	29.18	37.03							
Fe2O3	0.60	3.43	1.98	0.00	0.00	0.00	1.79	1.84	0.60	0.00	1.98	0.00	0.00	0.00	0.00	0.00	0.00	0.00	0.39						
CaO	8.57	14.46	12.85	14.28	14.60	14.39	12.92	11.11	11.97	8.66	12.85	14.24	12.77	12.21	12.43	14.11	14.03								
Na2O	5.82	3.20	4.27	4.36	4.36	4.08	5.06	5.71	4.64	6.37	4.27	5.09	4.85	4.54	4.78	4.24	4.42	4.49							
K2O	0.00	1.63	0.60	0.00	0.00	0.00	0.00	0.00	0.00	0.00	0.00	0.00	0.00	0.00	0.00	0.00	0.00	0.00							
Sum.	100	100	100	100	100	100	100	100	100	100	100	100	100	100	100	100	100	100							
Kation=8(0)																									
Si	2.91	2.63	2.75	2.38	2.35	2.20	2.43	2.61	2.50	2.86	3.75	2.38	2.67	2.70	2.67	2.39	2.39	2.42							
Al	1.04	1.11	1.06	1.59	1.81	1.46	1.27	1.50	1.06	1.55	1.22	1.21	1.32	1.56	1.57	1.46									
Fe+3	0.00	0.12	0.07	0.00	0.00	0.00	0.06	0.06	0.00	0.07	0.00	0.00	0.00	0.00	0.00	0.00	0.00	0.01							
Sum.	3.95	3.85	3.88	3.94	3.94	4.01	3.95	3.94	4.00	3.92	3.88	3.93	3.89	3.91	4.00	3.95	3.95	4.07							
Ca	0.38	0.72	0.70	0.72	0.72	0.71	0.63	0.54	0.56	0.41	0.62	0.60	0.62	0.59	0.60	0.69	0.68	0.62							
Na	0.47	0.52	0.37	0.39	0.39	0.36	0.45	0.50	0.35	0.45	0.42	0.39	0.42	0.37	0.39	0.42	0.37								
K	0.00	0.10	0.00	0.00	0.00	0.00	0.00	0.00	0.00	0.00	0.00	0.00	0.00	0.00	0.00	0.00	0.00	0.00							
Sum.	0.68	1.10	1.00	1.09	1.10	1.07	1.08	1.04	0.99	0.96	1.00	1.05	1.04	0.98	1.01	1.06	1.07	0.94							
An	44.84	65.16	62.45	63.89	64.77	66.09	85.53	51.82	62.09	42.90	62.45	60.73	59.27	59.78	58.97	46.78	36.96	61.14							
Ab	55.16	26.09	37.55	36.11	35.23	33.91	41.47	48.18	37.91	57.10	37.55	39.27	40.73	40.22	41.03	35.22	36.31	39.86							
Or	0.00	8.75	0.00	0.00	0.00	0.00	0.00	0.00	0.00	0.00	0.00	0.00	0.00	0.00	0.00	0.00	0.00	0.00							
Lanthanide	-0.21	0.92	0.51	0.57	0.61	0.67	0.34	0.07	0.47	-0.29	0.51	0.28	0.38	0.40	0.36	0.61	0.56	0.63							

وبشكل أقل في البيوتيت كما يشاهد أيضاً في بعض العينات ضمن العروق والشقوق الصخرية الناعمة. يتواجد الكوارتز ثانوي المنشأ غالباً على شكل بلورات وحببات هيبيديوبلاستية متوسطة الأبعاد غرانوبلاستية البنية تتميز بخاصية التعتم المتموج.

تفاوت نسبة توأذن فلز البيوتيت في الشرائط الصخرية المدروسة وتتراوح نسبته ما بين 1,5% و 6,2% ، يشاهد البيوتيت غالباً على شكل حبيبات ناعمة صغيرة الأبعاد مفردة أو متجمعة حرشفية أو ورقية إلى صفائحية الشكل هيبيديوبلاستية غالباً وأحياناً كسينوبلاستية ذات لون بني فاتح مصفر مع تعدد لوني واضح يمتد من اللون البني الشاحب المصفر ( $nx$ ) وحتى اللون البني القاتم ( $ny=nz$ )، تترواح قيمة الانكسار المضاعف ما بين 0,035 - 0,042 كما يشاهد محيطاً بلورات الهورنبلندر أو على شكل مكتنفات ضمنها ، ويكون بشكل عام حالياً من المكتنفات الفلزية الأخرى ، تساهُم حبيبات البيوتيت الصفائحية - الحالية الشرطيّة المتداولة الموازية لمواشير الهورنبلندر غالباً بتشكيل بنيات نيماتوبلاستية إلى ليبيديوبلاستية واضحة أحياناً تتضمن حبيبات البيوتيت متوسطة الأبعاد مكتنفات فلزية أخرى مثل البلاجيوكلاز ، الكوارتز ، والفلزات المعدنية وتشكل بنيات بويكيلوبلاستية ، يرتبط توأذن البيوتيت غالباً مع الهورنبلندر ويعتبر في الكثير من الأحيان نتاجاً مباشراً للفساده.

تشاهد الغرينا في عدد محدود من العينات المأخوذة من منطقة الغنغرية متواجدة ضمن أسرة كربوناتية فاتحة اللون و تبدو متجمعة على شكل أشرطة مليمترية إلى سنتمترية التخانة ، تتوضع بشكل منتظم موازية لإتجاه التورق العام أو تكون مجعدة بشكل غير منتظم مشكلة طيات مليمترية إلى سنتمترية الأبعاد، تأخذ الغرينا ألواناً زهرية إلى بنية كستنائية وتكون متوسطة إلى خشنة الأبعاد مستديرة إلى إهليلجية متداولة

الشكل ، تترواح أبعادها ما بين 1,8 - 6 مم كما تتميز بنية غرانوبلاستية وتشكل أحياناً بنيات بورفiro بلاستية، تحتوي حبيبات الغرينا الخشنة على حبيبات فلزية أخرى كالهورنبلند والبيوتيت والكلوريت والكوراتز أو الفلزات المعدنية مشكلة بنيات بوكييلوبلاستية . تدل الدراسة البتروغرافية إلى تعرض حبيبات الغرينا إلى إجهادات أدت إلى تكسيرها وتشققها وتشكيل بنيات كاتاكلاستية حدد الباحث (Parrot, 1977) نوع الغرينا بعروسو لار (شكل ٦).

**البيروكسين :** يتواجد فلز البيروكسين المائل من نوع ديوبيسيد في عدد محدود من العينات الصخرية الأمفيبيوليتية المدروسة والماخوذة من منطقة الغنغرية (G-9,G-10,G-11,G-12,G-13,G-15) وعينتين من منطقة كوباترادوشانة (QD-1,QD-2) مرافقاً لفلز الغرينا غالباً ، تظهر حبيبات البيروكسين على شكل حبيبات كسينوبلاستية صغيرة الأبعاد 0,06 - 0,48 مم عديمة اللون أو خضراء مصفرة ذات لون تداخلي مرتفع وتميز بنيات كاتاكلاستية (شكل ٧).

**الكلوريت :** يتواجد فلز الكلوريت في العينات الصخرية الأمفيبيوليتية المدروسة بنسبة محدودة ويرتبط تواجده غالباً مع فلز الهورنبلند والبيوتيت ويعتبر ناتجاً مباشراً لفسادهما، تبدو حبيبات الكلوريت تجمعيه حرشفية أو ورقية كسينوبلاستية، بتروغرافياً نميز نوعان من الكلوريت يتمتع الأول بلون أخضر مصفر شاحب مع تعدد لوني ضعيف يمتد من اللون الأبيض المخضر وحتى الأخضر المصفر الشاحب (+),(-). Opt مع تداخل لوني غير عادي يصل إلى الأزرق وهو غالباً من نوع أفروسيديريت بينما تتمتع حبيبات النوع الثاني بألوان خضراء فاتحة مع تعدد لوني يمتد من الأخضر الفاتح المصفر وحتى الأخضر الشاحب (-),(+). Opt مع تداخل لوني غير عادي يصل للبني الحمر وهو غالباً من نوع

ريبيديت ، تتراوح قيمة الانكسار المضاعف للكلوريت ما بين 0,044-0,066 ، يتواجد فلز الكلوريت أيضاً في بعض العينات على شكل أشرطة ناعمة متطاولة موازية لاتجاه التورق مشكلاً بنيات نيماتو - إلى ليبيدو بلاستية.

**الإيبيدوت:** يظهر فلز الإيبيدوت في معظم العينات الصخرية الأمفيبوليتيه المدروسة وبنسب متفاوتة ، يشاهد غالباً على شكل حبيبات كسينوبلاستية وبشكل أقل هيبيديبو بلاستية صغيرة الأبعاد ، عديمة اللون إلى صفراء شاحبة مع تضرس عالي ولون تداخلي شاذ (ألوان طاووسية) ، تتراوح قيمة الانكسار المضاعف ما بين 0,020 - 0,028 مع تعدد لوين ضعيف . يترافق تواجد الإيبيدوت غالباً مع البلاجيو كلاز ويعتبر في الكثير من الأحيان ناتجاً مباشراً لفساده.

**الفلزات المعدنية :** تظهر الفلزات المعدنية في الشرائح المجهرية للعينات الصخرية الأمفيبوليتيه المدروسة غالباً بمعثرة بشكل غير منتظم بين المكونات الفلزية الأخرى المكونة للصخر أو تتوضع في الهورنبلند على طول امتداد سطوح شبكة الانفصام وتكون غالباً كسينوبلاستية الشكل وبشكل أقل هيبيديبو بلاستية .

**الفلزات الكربوناتية :** تتوارد الفلزات الكربوناتية أولية المنشأ بأبعاد متوسطة 1,20-3,35 مم هيبيديو - إلى إيديدوبلاستية الشكل موزائيكية البنية وتظهر اكتتمالاً لسطح الانفصام وفق الاتجاه (1011) أو (0112) بشكل أساس في النطاقات فاتحة اللون أو العروق بسمادات ميليمترية وأحياناً سنتمترية موازية لاتجاه التورق العام، مترافق مع البلاجيو كلاز الصودي (أليبيت) أو البلاجيو كلاز الصودي الكلسي (أوليغوكلاز) ، الغرينا، الكلوريت، الإيبيدوت، البيوتيت والسفين. كما يتواجد كفلز ثانوي المنشأ ممثلاً

نتائجنا مباشراً لفساد البلاجيوكلاز وبيدو على شكل بلورات كسينوبلاستية بجمعيّة ناعمة الحبيبة.

**الفلزات الإضافية :** من خلال دراسة العينات الصخرية الأمفيبوليتيّة تم التعرّف على الفلزات الإضافية التالية : تيتانيت - أباتيت - روتيلا . وترأواح نسبة هذه الفلزات في العينات المدروسة ما بين 0,8 % - 2,1 % . تشاهد مواضير التيتانيت منعزلة أو متجمعة ضمن فلزي البلاجيوكلاز والهورنبلند وتكون غالباً صغيرة الأبعاد هيئيّة بلامستية الشكل ذات لون بني فاتح مع تعدد لوني خفيف ، بينما تلاحظ المقاطع الموشورية للأباتيت على شكل حبيبات ناعمة الأبعاد مع تضريس عالي ولون تداخلي منخفض رمادي من المرتبة الأولى موزعة ضمن البلاجيوكلاز وتشاهد حبيبات الروتيلا ناعمة مكتنفة غالباً في فلزي الهورنبلند والبيوتيت.

### تحديد الباراجينيز الفلزي وشروط التحول الإقليمي :

اعتماداً على الدراسة البرتغالية للصخور الأمفيبوليتيّة والمتابازيتية المنتشرة في منطقة الباير - البسيط تم تحديد المترافقات الفلزية ( الباراجينيز الفلزي ) وفق الشكل التالي :

**منطقة الغفرية :** هورنبلند + بلاجيوكلاز ( أنديزين - لا برادور ) + كوارتز ± إيبيدوت ± غرينان ( غروسو لار ) ± بيروكسين ( ديوبيسيد ) ± كلوريت ± فلزات كربوناتية .

**منطقة الكبير :** هورنبلند + بلاجيوكلاز ( أنديزين - لا برادور ) + كوارتز ± إيبيدوت ± كلوريت ± بيويتيت ± فلزات كربوناتية .

**منطقة بيت بلدور :** هورنبلند + بلاجيوكلاز (أنديزين) + كوارتز إيبيدوت بيوتيت كلوريت.

**منطقة كوباتر ادوشانه :** هورنبلند + بلاجيوكلاز (لابرادور) + كوارتز إيبيدوت بيروكسين (ديوبسيد) بيوتيت كلوريت فلاتات كربوناتية.

**منطقة عبوران :** هورنبلند + بلاجيوكلاز (لابرادور) + كوارتز إيبيدوت بيوتيت كلوريت.

يتضح مما ذكر أعلاه أن جميع المناطق المذكورة تشتهر بالمترافقات الفلزية التالية :  
 هورنبلند+ بلاجيوكلاز (أنديزين - لابرادور) + كوارتز ± إيبيدوت ± كلوريت ، رغم أن نسبة مشاركة فلز الكلوريت تبقى محدودة > 61% وتمثل مشاركته غالباً ناجماً مباشرةً لفساد الفلاتات القاقة كالمورنبلند والبيوتيت . يتطابق الباراجينيز الفلزي لمنطقة جبل عبوران ومنطقة بيت بلدور ومنطقة الكبير مع الباراجينيز الفلزي المقترن من قبل الباحث (Winkler, 1965) والباحث (Mathe, 1985) ويتوافق مع سحنة الشيست الأخضر ويقع غالباً في الحال المخصص أسفل سحنة كوارتز - أليت - إيبيدوت - بيوتيت. يشير ظهور فلز البيروكسين المائل من نوع (ديوبسيد) مرافقاً لفلز الغرينا من نوع (غروسولار) في بعض العينات الصخرية المدروسة والممثلة لمنطقة الغنغرية غالباً إلى الانتقال للجزء المنخفض من سحنة الأمفيبولييت - الماندين ، تحت سحنة سينا وروليت - الماندين.

## النتائج :

نستنتج لدى التدقيق في متوسط المحتوى الفلزى الحقيقى للمناطق الرئيسية المدروسة والمبيبة في (الشكل - 2) النقاط الرئيسية التالية :

- يشكل فلز المورنبلند مع فلز البلاجيوكلاز النسبة الكبيرة للصخور الميتا بازيتية - الأمفيبيوليتية المدروسة مع وجود علاقة عكssية بين تواجد فلز المورنبلند وفلز البلاجيوكلاز ففي حين بلغت النسبة المئوية للهورنبلند في موقع الغنغرية كحد أدنى 43,8 % ونسبة البلاجيوكلاز 28,4 % ، تغيرت هذه النسب في موقع بيت بيلدور لتزداد نسبة المورنبلند إلى 68,9 % ولتناقص نسبة البلاجيوكلاز إلى 19,3 %. لقد أشار الباحث (Walker et al., 1960) لدى دراسته للصخور الأمفيبيوليتية ذات الأصل المهمي والرسوبي إلى وجود مثل هذه العلاقة العكسية بين الفلزين المذكورين معتبراً أن زيادة نسبة فلز المورنبلند على حساب تناقص فلز البلاجيوكلاز دليلاً على الأصل المهمي للصخور الأم في حين أن تناقص فلز المورنبلند على حساب ازدياد فلز البلاجيوكلاز دليلاً على الأصل الرسوبي.

- لا يتجاوز المحتوى الوسطي لفلز الكوارتز في المناطق المدروسة عن ٥% ، باستثناء العينة BB-13 حيث يزيد محتواه فيها عن ٢٠% مما يؤدي إلى تواجد هذه العينة في المجال المخصص للصخور الغنائيسية حسب (Mathe, 1985) .

- تظهر بعض العينات المدروسة من منطقة الغنغرية - الكبير وكوباتر ادو شانه تناوب أسرة قاتمة مع أسرة فاتحة اللون ( شكل ٨) ويعزى هذا التناوب إلى الاختلاف في المحتوى الفلزى للمادة الصخرية الأولية حيث تتألف الأسرة القاتمة من فلزات قاتمة



شكل - ٧ : صخر أمفيوليتي ناعم إلى متوسط الحبيبية مع بيوتيت وبيروكسين ومع قليل من الكلوريت - الكوارتز والإبيدوليت، يوضح الشكل في الجزء العلوي اليميني فلز الكلينوبوروكسين ذو البنية البورفيروكاتلاكلاس، عينة ١ - QD ، تكبير ٢٣ X ، بدون محلل ( - )



شكل - ٨ : صخر أمفيوليتي ناعم الحبيبية مع كوارتز ومع قليل من الكلوريت - الإبيدوليت والبيوتيت، يوضح الشكل تناوب الأسرة القائمة والفالاخنة الموازية لاتجاه التورق، عينة ١٣ - BB ، تكبير ٢٠ X ، مع محلل ( + )

اللون هي بشكل رئيس : الهورنبلند ، البيوتيت وأحيانا من فلزات معدنية بينما تتألف الأسرة فاتحة اللون من : الكوارتز - الإيبيدوت - الكلوريت والفلزات الكربوناتية ويمكن تفسير هذه الظاهرة بالافتراض أن المادة الصخرية الأولية قد تمثل مادة طفية أو ميتا طفية.

- توضح الدراسة البتروغرافية للعينات الصخرية المدروسة أنها خضعت لشروط تحول إقليمية أدت إلى تحول تركيبها الفلزي الأولي وتشكيل فلزات سحنة الشيست الأخضر وأحيانا فلزات سحنة الأمفيبولييت . هذا و تتفق مجموعة الفلزات المحددة في الدراسة البتروغرافية مع التجمع الفلزي (الباراجينيز الفلزي) المحدد من قبل الباحث Wimmenauer,1985 (Bucher and Frey,1994) والمميزة لسحنة الشيست الأخضر : (أليت + كلوريت + إيبيدوت + أكتينوليت ± كالسيت ± كوارتز) أو المميزة لسحنة الأمفيبولييت ( بلاجيوكلاز + هورنبلند ± كوارتز ± غرينان ± بيوتيت ± كلينوبيرو كسين ).

- لقد أزالت عملية التحول كافة البنيات أولية التشكيل وكافة الأوجه البلورية الأصلية باستثناء وحيد يلاحظ فقط في العينتين QD-1 و QD-2 إذ يمكن أن تشير حبيبات فلز البيروكسين (كلينوبيرو كسين) إلى الأصل المهملي كبقايا لفلزات أولية التشكيل كالأوليفين مثلا.

- تعتبر مظاهر أكسدة الهورنبلند وتشكيل خثرات معدنية تتوضع على طول شقوق سطوح الانفصام البلورية أو على الأطراف الهامشية لحبات الهورنبلند المشاهدة في كثير من العينات الصخرية المدروسة حسب رأي الباحث Wimmenauer,1985 (Pichler,1993) دليلا للأصل المهملي، ويفكـد الباحث أيضا هذا الأصل المهملي ويقترح أن

تكون الصخور الأم صخوراً مهليه مخترجه حامضية إلى متوسطة الحامضية أنديزيتية إلى داسيتية التركيب والطبيعة. على النقيض من ذلك يعتبر تواجد فلز الغرينا عديم اللون أو البني ذا التركيب الكلسي (غروسوilar) والمرافق لفلز الكلينوبيروكسين الكلسي التركيب أيضاً من نوع (ديوبسيد) والمحدد من قبل (Parrot, 1980) والمتوافر في بعض عينات موقع الغنغرية والتحقق لوجود الباراجيتر الفلزي (غروسوilar + ديوبسيد + كالسيت + كوارتز) حسب دراسات (Seim, 1967) و (Roesler, 1983) دليلاً على الأصل الروسي أو الروسي - المهي المختلط. فضلاً عن ذلك يعتقد الباحث (Pichler, 1993) بأن تواجد الغرينا من نوع الغروسوilar ضمن مجموعة الترافق الفلزي (غروسوilar + ديوبسيد + كالسيت) يعتبر دليلاً على اعتبار الصخور الأم هي صخوراً كلسية - مارنية ذات طبيعة بارا غينية تحولت تحت شروط التحول الإقليمية أو التماسية متوسطة الشدة.

يتوافق الترافق الفلزي المحدد نتيجة الدراسة البتروغرافية مع سحنة الشيست الأخضر يمتد إلى أسفل سحنة الأمفيولييت. تحدد شروط التحول اعتماداً على نتائج تحليل فلزي الهورنبلند والبلاجيو كلاز بـ 500-650 م للحرارة و 2,5 كيلobar للضغط حسب (Spear, 1980; 1981a; 1981b) و (Plyusnina, 1982) و (Brown, 1977).

## الدراسة الجيوكيميائية:

### تحديد طبيعة الصخور الأم (الأصل) :

تبين مما سبق ذكره أن الدراسة البتروغرافية المنفذة على الصخور الأمفيوليتي لم تقدم البراهين الكافية والأكيدة بما يتعلق بطبيعة الصخور الأم (الأصل) فيما إذا كانت تمثل صخوراً رسوبية أو أنها تمثل صخوراً مهليه اندساسية أو مخترجه ، لذا تم تحديد طبيعة هذه الصخور جيوكيمياً من خلال تحديد محتوى عيناتنا المدروسة من العناصر الكيميائية

الرئيسة والثانوية (جدول ٣ و ٤) وشكل توزع هذه العناصر وتحديد المعاملات البتروكيميائية وإسقاط ذلك على مخططات بتولوجية - جيو كيميائية معدة لهذا المدف. استطاع الباحث (Leake,1964) نتيجة دراسته للمجموعات الصخرية الرسوبيه والمهلية المتباينة الطبيعية أن يحدد من خلال استخدامه لمتغيرات قيم نغلي  $c$  مقابل  $mg$  عددة قطاعات واضحة تفصل وتميز الصخور ذات الأصل المهمي عن الصخور ذات الأصل الرسوبي (شكل - ٩)، لدى اختبار مخطط (Leake,1964) لعيناتنا بحدتها تتوضع على جانبي الفاصل المهمي المحدد من قبل الباحث والمميز لصخور الكارو - دولوريت مع وجود نوع من التفاضل المهمي المحدود، نصل للنتيجة السابقة لدى اختبار مخطط الفاصل المهمي مع إزاحة للعيتين G-13, G-15 إلى الجانب الغني بالكربونات. استطاع (Walker etal.,1960) نتيجة دراستهم للصخور الأمفيبوليتيّة المتباينة الحصائص المنتشرة في منطقة كويزن لاند تحديد قطاعين رئيسيين على المخطط التصنيفي ثلاثي الرؤوس  $MgO-CaO-FeO^*$  (شكل- ١٠) الذي يفصل بين الصخور الأمفيبوليتيّة مهليه الطبيعة عن الصخور الأمفيبوليتيّة رسوبيه الطبيعة ، لدى إسقاط عيناتنا على مخطط Walker بحد أن أغلبية العينات تسقط في القطاع المخصص للصخور المهمية الطبيعة ، بعض العينات تقع على المجال المشترك في حين أن العيتيين G13,G15 تسقطان في المجال المميز للصخور الأمفيبوليتيّة بارا غنية الطبيعة.

حدّد (Evans and Leake,1960) نتيجة دراستهم للصخور الأمفيبوليتيّة المنتشرة في منطقة ايرلاند قطاعاً مميزاً للصخور مهليه الطبيعة وذلك من خلال مقارنة متغيرات قيم نغلي  $c$  مقابل  $fm$  ، بحد عند إسقاط عيناتنا على مخطط الباحثين تجمع معظم عيناتنا المدروسة في القطاع المخصص للصخور الأمفيبوليتيّة مهليه الطبيعة مع انزياح بعضها إلى

الجانب الغني بالمركب mg . كذلك يقود اختبار مخطط الباحث (Van de Kamp, 1968) والذي يعتمد على مقارنة متغيرات قيم نغلي al-alk مقابل c أيضا إلى تأكيد الطبيعة المهلية.

تمكن (Beuge, 1989) اعتمادا على شكل توزع ووفرة العناصر الكيميائية الرئيسة (Na - Ca - Mg) من وضع حد فاصلا يفصل بين الصخور المهلية والرسوبية الطبيعة على مخططه  $(\text{CaO})^2 / (\text{MgO})^2$  مقابل  $\text{Na}_2\text{O} / (\text{CaO})^2$ . نلاحظ عند إسقاط عيناتنا المدروسة على مخطط (Beuge) أنها تتوضع في الحال المخصص للصخور ذات الطبيعة المهلية البازلتية الخصائص والتركيب (شكل - ١١). حدد (Frohlich, 1960) اعتمادا على نسبة محتوى الصخور الأمفيوليتية لعنصر الـ Cr والـ Ni ثلث نطاقات ، يميز النطاق الأول الصخور الأمفيوليتية الرسوبية الطبيعة بشكل مؤكد وفيه تقل نسبة الصخور الأمفيوليتية عن الـ 20 ppm ، النطاق الثاني وتراوح نسبة الـ Cr ما بين 20-150 ppm عن الـ Cr ويكون مجاًلا مشتركا ومميزا للصخور الأمفيوليتية الرسوبية والمهلية الطبيعة، النطاق الثالث تزيد نسبة الـ Cr عن 150 ppm ويكون مميزا للصخور المهلية الطبيعة، لدى اختبار ذلك على عيناتنا المدروسة نجد أن معظمها يمثل صخوراً أمفيوليتية مهلية الطبيعة. كذلك يقترح (Lange, 1965) فيما تزيد عن الـ 40 ppm لعنصر الـ Co ونسبة تزيد عن الـ 200 ppm لعنصر الـ V في الصخور الأمفيوليتية ذات الطبيعة المهلية. عند تدقيق ذلك على عيناتنا نجد أن جميع العينات تمثل بتركيبتها الصخور المهلية عدا عيني A-13 و QD-6 . أخيراً يحدد الباحث (Siegferd, 1988) في مخططه ثلاثي الرؤوس al-alk-c/fm قطاعاً يميز الصخور ذات الطبيعة المهلية ويشرط للعلاقة  $c/fm$  مجاًلا يتراوح ما بين القيمتين (1.50-25) . لدى اختبار هذه العلاقة بالنسبة لعيناتنا نجد أن جميع العينات المدروسة تحقق نسبة  $c/fm$  تقع ضمن هذا المجال عدا العينتين

G - 13 و G - 15

**جدول (٣)**  
**العناصر الكيميائية الرئيسية مقدرة بـ % الدخلة في تركيب أمفيبولييت منطقة الباير والبسط (سورية)**

Sum.	LIO	P2O5	K2O	Na2O	CaO	MgO	MnO	Fe2O3	Al2O3	TiO2	SiO2	Pro.Nr
100.1	0.82	0.25	1.3	3.32	8.56	8.94	0.17	13.12	15.9	2.62	45.1	G-01
99.98	1.80	0.15	0.95	2.75	8.87	8.71	0.17	11.33	16.81	1.32	47.12	G-02
100.75	1.11	0.12	0.72	2.71	10.16	10.67	0.18	14.55	14.48	2.45	43.60	G-03
99.83	1.24	0.34	1.80	2.50	6.70	9.45	0.18	12.80	14.66	3.16	47.00	G-04
99.65	1.68	0.32	1.18	3.51	10.50	6.98	0.15	12.81	15.06	2.68	44.78	G-05
99.66	0.80	0.25	0.73	3.97	7.72	7.63	0.13	15.34	15.45	2.34	45.30	G-06
99.92	0.65	0.35	1.50	2.75	8.08	9.90	0.17	14.13	15.14	3.15	44.10	G-07
99.88	1.66	0.32	0.93	2.39	11.58	8.92	0.16	9.78	15.12	2.72	46.30	G-08
99.91	0.68	0.25	1.14	1.70	14.90	9.48	0.15	10.66	13.58	2.17	45.20	G-09
100.07	1.55	0.31	0.51	3.09	7.90	7.88	0.13	10.49	15.24	0.72	52.25	G-10
99.96	1.12	0.35	1.00	3.16	10.40	8.07	0.18	13.10	14.76	2.62	45.20	G-11
99.92	1.59	0.35	0.48	2.91	8.23	6.77	0.13	12.24	15.12	0.93	51.17	G-12
100.05	1.72	0.23	0.50	1.16	29.73	6.27	0.22	7.71	7.93	1.68	42.90	G-13
99.27	1.83	0.19	0.08	2.58	9.58	8.42	0.16	11.80	16.09	1.46	47.08	G-14
100	1.87	0.27	0.37	0.63	32.04	3.02	0.17	8.18	9.8	2.22	41.43	G-15
100.06	1.74	0.36	0.74	4.19	8.54	7.53	0.14	12.78	14.31	2.48	47.25	G-17
99.9	1.74	0.31	0.76	4.14	8.92	7.52	0.14	12.12	14.38	2.51	47.36	G-18
101.76	1.84	0.05	2.36	2.06	11.42	9.32	0.13	11.40	14.52	0.86	47.80	KE-01
99.94	1.12	0.06	1.36	3.27	11.79	9.91	0.14	12.57	13.59	1.13	45.00	KE-02
99.92	1.45	0.17	0.55	2.98	8.65	6.43	0.16	9.98	16.45	0.65	52.45	KE-03
100.22	1.62	0.22	1.06	2.46	7.74	6.51	0.18	11.31	16.91	1.37	50.84	KE-04
100.61	0.55	0.09	0.55	2.02	14.57	9.22	0.16	10.19	15.94	1.32	46.00	KE-05
100.32	0.60	0.38	1.05	2.93	11.12	9.19	0.17	12.48	11.13	2.92	48.35	KE-06
100.93	0.67	0.30	0.88	2.17	12.18	8.73	0.11	10.19	13.73	2.27	49.70	KE-07
99.96	1.54	0.24	0.63	2.78	8.10	7.15	0.17	10.84	16.34	0.82	51.35	KE-08
100.00	1.03	0.27	1.16	2.36	8.24	7.55	0.18	11.80	16.70	1.41	49.30	KE-09
99.19	0.61	0.10	0.75	3.61	11.54	9.16	0.16	10.34	15.79	1.23	45.90	KE-10
100.36	1.20	0.40	0.82	2.32	13.31	8.90	0.18	13.75	11.04	2.74	45.70	KE-11
100.97	0.71	0.66	0.44	2.11	15.82	6.96	0.16	11.93	14.75	1.33	46.10	KE-12
99.89	0.65	0.13	0.47	2.43	14.37	8.35	0.14	12.18	15.37	1.40	44.40	KE-13
99.79	1.66	0.15	0.50	3.94	11.75	6.86	0.18	13.42	14.55	1.29	45.49	KE-14
99.07	0.78	0.25	1.14	2.60	12.87	9.64	0.17	11.24	12.97	3.51	43.90	KE-15
100.58	1.21	0.06	0.74	3.15	12.27	9.19	0.15	12.66	12.37	1.78	47.00	KE-16
98.83	1.27	0.18	0.74	2.47	12.14	11.97	0.15	11.54	11.67	1.50	45.20	KE-17
99.37	0.92	0.07	0.46	3.47	14.55	9.10	0.25	10.85	14.32	1.08	44.30	KE-18
99.90	1.40	0.32	1.13	2.78	11.36	8.44	0.20	12.51	14.26	2.90	44.60	KE-19
99.16	1.24	0.30	0.81	1.39	12.27	8.68	0.19	9.29	12.48	2.21	50.30	BB-01
99.64	0.15	0.42	0.32	1.11	13.44	7.35	0.19	10.62	15.95	3.89	46.20	BB-02
100.70	0.45	0.31	0.73	3.30	12.54	8.67	0.11	12.61	13.23	2.65	46.10	BB-03
100.64	1.44	0.24	0.59	2.14	10.08	10.04	0.16	12.79	12.46	2.70	48.00	BB-04
100.50	0.45	0.52	0.60	2.82	9.65	7.77	0.12	11.69	12.49	2.19	52.20	BB-05

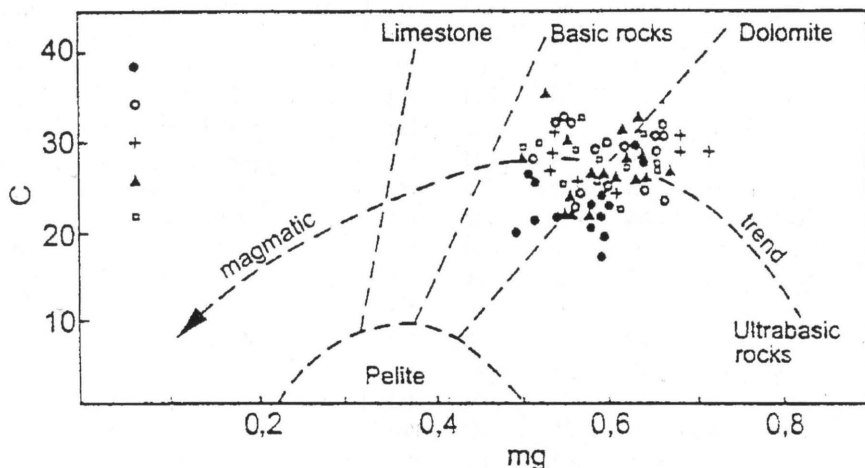
تابع جدول (٣)  
العناصر الكيميائية الرئيسية مقدرة بـ % الدالة في تركيب أمفيوليت منطقة الباير والبسط (سورية)

Sum.	LIO	P2O5	K2O	Na2O	CaO	MgO	MnO	Fe2O3	Al2O3	TiO2	SiO2	Pro.Nr
99.73	1.26	0.47	0.59	3.82	10.43	6.56	0.12	12.22	13.79	3.37	47.10	BB-06
100.18	1.20	0.39	0.93	3.06	12.00	10.64	0.14	11.39	12.61	3.32	44.50	BB-07
99.63	0.67	0.41	0.92	1.17	11.69	7.74	0.14	14.09	12.78	2.12	47.90	BB-08
99.95	1.62	0.72	0.77	3.29	10.83	8.97	0.12	10.83	12.87	3.10	46.83	BB-09
98.84	0.61	0.29	0.15	1.02	11.49	10.97	0.14	11.88	12.80	2.29	47.20	BB-10
99.89	3.03	0.32	0.14	2.84	10.95	8.33	0.13	11.34	15.17	1.61	46.03	BB-11
98.69	1.36	0.21	0.60	4.47	9.68	8.14	0.18	11.28	14.20	1.67	46.90	BB-12
99.93	1.06	0.45	0.46	3.49	11.13	6.80	0.12	12.29	14.42	3.15	46.56	BB-14
98.78	1.39	0.47	0.50	3.66	9.58	8.87	0.13	11.89	13.75	2.54	46.00	QD-01
100.32	0.84	0.22	0.70	1.47	12.21	7.13	0.16	11.65	12.32	1.12	52.50	QD-02
98.86	0.87	0.05	0.28	2.13	13.06	10.05	0.19	9.37	13.31	0.95	48.60	QD-03
100.00	0.98	0.03	0.70	1.40	12.60	11.40	0.18	10.60	14.73	0.88	46.50	QD-04
98.79	1.12	0.02	0.86	1.93	12.55	11.49	0.15	9.31	14.42	0.74	46.20	QD-05
100.13	3.13	0.02	1.57	2.07	10.41	6.74	1.11	11.76	15.30	0.36	47.66	QD-06
100.00	1.24	0.35	1.98	2.06	10.32	8.34	0.21	12.22	16.12	3.63	43.53	QD-07
101.01	1.30	0.43	1.84	2.55	11.35	8.37	0.21	12.08	15.20	3.59	44.09	QD-08
99.66	0.87	0.34	0.19	2.67	11.93	7.95	0.17	14.72	13.73	1.99	45.10	A-01
100.46	0.67	0.07	0.51	2.58	13.78	9.71	0.16	9.76	14.03	0.89	48.30	A-02
100.21	0.56	0.10	0.67	1.49	14.63	7.38	0.20	12.15	15.76	2.07	45.20	A-03
101.32	0.68	0.05	0.75	2.56	13.59	8.90	0.15	11.41	15.48	1.25	46.50	A-04
100.18	1.01	0.06	0.48	3.17	11.46	9.52	0.15	10.17	15.34	1.32	47.50	A-05
100.73	0.72	0.07	0.66	2.51	14.43	7.31	0.09	12.14	14.65	0.95	47.20	A-06
100.44	0.89	0.08	1.07	2.90	11.27	8.48	0.19	11.55	14.27	0.84	48.90	A-07
99.82	0.71	0.08	0.37	3.47	12.77	8.25	0.16	11.12	13.12	1.57	48.20	A-08
99.43	0.95	0.06	0.20	2.12	10.98	11.21	0.18	11.93	13.63	1.27	46.90	A-09
100.79	0.67	0.06	0.20	2.20	11.85	9.17	0.21	10.95	14.27	0.91	50.30	A-10
100.50	0.87	0.08	0.50	2.45	12.12	8.39	0.18	11.08	14.50	1.53	48.80	A-11
100.42	0.76	0.09	0.24	3.29	13.25	7.15	0.18	10.45	14.04	0.97	50.00	A-12
100.55	1.93	0.18	0.66	2.85	9.12	6.95	0.18	10.08	16.42	0.62	51.56	A-13
99.94	1.76	0.21	0.63	2.61	8.87	7.13	0.17	11.13	16.31	0.68	50.44	A-14
98.95	1.19	0.10	0.71	2.20	13.30	9.06	0.15	10.01	15.60	1.33	45.30	A-15
98.74	1.08	0.06	0.80	3.07	14.60	10.06	0.13	9.51	14.23	1.00	44.20	A-16
100.00	1.86	0.18	1.30	3.52	10.06	10.18	0.14	9.32	14.41	1.77	47.26	A-17
100.08	1.39	0.05	0.45	2.64	11.23	8.21	0.16	9.13	15.08	0.91	50.83	A-18

جدول (٤)  
العناصر الكيميائية الثانوية مقدرة بـ PPm الدالة في تركيب أمفيبولييت منطقة الباير والبسط (سورية).

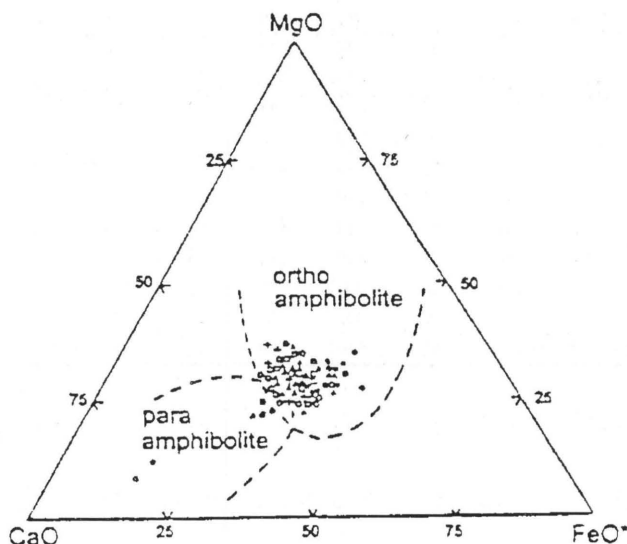
V	Co	Cr	Ni	Zn	Rb	Sr	Y	Zr	Pb	Cu	Pro.Nr
249	83	165	112	122	29	698	26	105	17	119	G-01
		204	118	103	36	934	40	143	19	93	G-02
		234	196	129	13	152	39	169	24	70	G-03
222	70	135	126	94	16	324	30	123	32	99	G-04
		195	109	124	27	626	31	148	26	127	G-05
		185	102	77	20	690	31	144	16	74	G-06
		146	126	104	67	275	30	148	17	130	G-07
		99	74	116	26	295	47	210	19	131	G-08
254	68	122	80	83	22	419	25	141	27	139	G-09
		149	118	84	48	876	40	149	20	156	G-10
		194	119	117	18	252	50	190	20	116	G-11
221	56	149	113	97	37	785	34	235	36	148	G-12
		290	108	86	< 10	332	26	114	20	139	G-13
204	65	174	100	105	32	678	33	149	21	105	G-14
		88	91	71	< 10	672	25	124	35	105	G-15
		238	125	85	12	659	28	120	18	105	G-17
		234	67	210	124	98	< 10	706	34	134	18
		225	69	588	190	61	< 10	490	26	102	24
224	44	344	190	75	22	272	30	119	14	78	KE-02
		230	170	65	< 10	312	30	122	17	119	KE-03
		537	143	87	15	699	31	147	16	105	KE-05
		194	118	108	< 10	200	48	278	21	150	KE-06
		241	125	90	< 10	212	48	256	20	122	KE-07
241	43	191	119	93	< 10	711	43	178	18	117	KE-08
		176	134	76	< 10	249	26	131	17	115	KE-09
		191	138	86	< 10	447	20	94	16	134	KE-10
		241	114	110	< 10	722	45	290	19	129	KE-11
		162	104	68	< 10	280	28	128	14	111	KE-12
280	45	215	168	59	< 10	435	36	177	< 18	100	KE-13
		139	85	100	< 10	545	53	112	20	116	KE-14
		210	143	51	< 10	189	53	181	46	69	KE-15
		246	163	71	12	633	36	100	27	70	KE-16
		196	285	85	< 10	152	43	116	26	100	KE-17
357	66	181	132	68	< 10	291	19	108	25	91	KE-18
		246	68	104	16	842	34	245	23	143	KE-19
		462	446	55	< 10	693	33	229	< 10	68	BB-01
		250	157	46	< 10	1777	60	365	33	119	BB-02
		156	109	70	16	421	37	267	25	116	BB-03
		505	265	116	< 10	254	37	224	18	112	BB-04
		196	131	103	18	971	40	207	16	114	BB-05

V	Co	Cr	Ni	Zn	Rb	Sr	Y	Zr	Pb	Cu	Pro.Nr
305	78	174	98	97	< 10	517	51	248	20	89	BB-06
		304	216	80	< 10	711	23	214	< 10	106	BB-07
		238	183	102	12	571	37	254	16	135	BB-08
255	73	351	217	100	< 10	432	39	274	17	90	BB-09
		363	395	90	< 10	130	26	170	25	191	BB-10
233	92	376	454	74	< 10	116	29	152	16	95	BB-11
		269	221	72	< 10	807	40	350	< 10	140	BB-12
216	83	120	106	86	< 10	619	31	224	17	170	BB-14
		215	143	70	< 10	554	25	151	24	79	QD-01
		747	573	62	< 10	212	36	125	23	73	QD-02
		271	231	78	< 10	225	30	210	22	76	QD-03
		318	239	31	< 10	579	17	210	22	74	QD-04
		454	228	100	< 10	457	42	289	22	117	QD-05
123	46	693	280	59	45	462	20	210	12	61	QD-06
		448	282	87	34	1061	40	331	< 10	61	QD-07
		358	290	79	31	925	36	218	< 10	53	QD-08
		147	131	109	27	312	23	131	27	99	A-01
		315	154	56	< 10	180	42	139	22	76	A-02
		249	174	74	< 10	87	28	143	25	101	A-03
		272	130	66	13	322	64	143	21	101	A-04
		307	98	62	< 10	722	31	86	38	66	A-05
		349	143	76	15	309	25	98	23	98	A-06
		426	184	57	20	396	17	109	21	62	A-07
		326	104	76	< 10	370	30	116	22	74	A-08
		259	99	90	< 10	317	31	124	16	94	A-09
		299	129	57	< 10	249	28	128	12	75	A-10
		234	109	62	< 10	492	29	154	< 10	73	A-11
		146	139	75	< 10	462	28	180	< 10	64	A-12
226	38	272	187	78	< 10	272	29	131	25	92	A-13
243	41	219	134	45	< 10	454	29	135	< 10	76	A-14
		256	188	71	< 10	232	34	143	< 10	69	A-15
		254	185	76	13	451	23	128	14	96	A-16
		273	158	50	15	420	23	131	15	77	A-17
		301	193	62	< 10	247	23	146	21	69	A-18

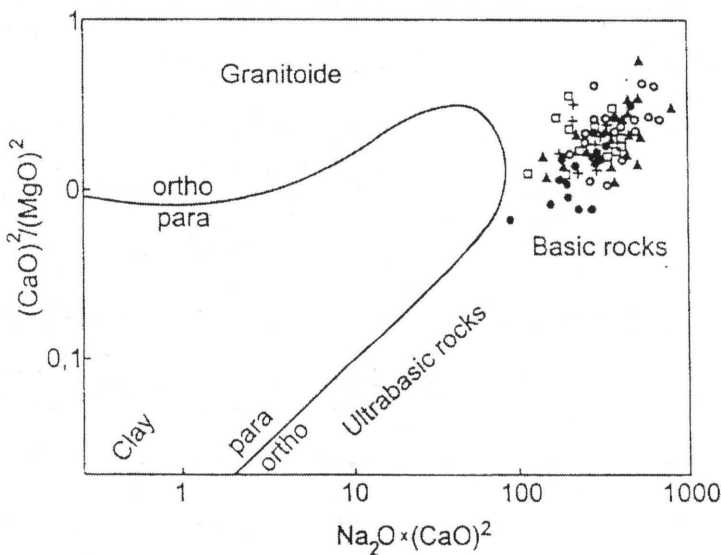


شكل - ٩ : متغيرات نغلي C مقابل mg عن الباحث (Leake, 1964)

عينات منطقه: ● الغنغرية، ○ عيوران، + كوباترا دوشانة، ▲ بيت بلدور، □ الكبير  
( تستعمل هذه الرموز في كافة مخططات البحث التالية )



شكل - ١٠ : مخطط MgO-FeO\* عن الباحث (Walker et al., 1960)



شكل - ١١: المخطط  $(\text{CaO})^2 / (\text{MgO})^2$  مقابل  $\text{Na}_2\text{O} \times (\text{CaO})^2$  عن الباحث (Beuge, 1989).

نتيجة لما سبق يمكن القول أن لجميع العينات الصخرية الأمفيوليتية المدروسة طبيعة مهليه مؤكدة عدا العينتين G - 13 ، G - 15 ، مما يقودنا لمتابعة التدقيق عن ماهية وطبيعة الأصل المهيي لهذه الصخور.

### تحديد طبيعة الأصل المهيي للصخور المدروسة :

لتحديد الأصل المهيي للصخور الأمفيوليتية المدروسة تم مقارنة تركيب عيناتنا الجيو كيميائي مع التراكيب الجيو كيميائية لأنواع المهيي المختلفة الخصائص والتراكيب ، ومن أجل ذلك كان لابد من التأكد أولاً من أن عيناتنا المدروسة حافظت على تراكيبها ولم تغير من خصائصها نتيجة عمليات الفساد الحانبي أثناء مرحلة تطورها الجيولوجية.

يظهر مخطط الباحث (Miyashiro, 1975a; 1975b) علاقة الارتباط الإيجابية بين تزايد محتوى الصخور من العناصر القلوية (Na, K) مع تزايد درجة فساد وتحول هذه الصخور إلى سبيليت ، لقد تمكّن الباحث من وضع حد فاصل يميز بين المهل البازلتية الطازجة وتلك الفاسدة والمتحوّلة إلى سبيليت ، يدل اختبار هذا المخطط لعيناتنا على تواجدها جميعاً ضمن المجال المخصص للصخور البازلتية الطازجة غير الفاسدة . أيضاً لدى اختبار المخطط الجيوكيميائي  $\text{CaO} / \text{Na}_2\text{O}$  مقابل (Vallance, 1974) للباحث تقع عيناتنا في المجال المميز للصخور البازلتية الطازجة .

صنف (La Roche et al., 1980) الصخور المهلية المختلفة اعتماداً على نسبة تواجد العناصر الكيميائية الرئيسية فيها إلى عدةمجموعات رئيسية مستخدماً لذلك معاملين هما R1 و R2 حيث :

$$R1 = 4\text{Si} - 11(\text{Na} + \text{K}) - 2(\text{Fe} + \text{Ti}) ; \quad R2 = 6\text{Ca} + 2\text{Mg} + \text{Al}$$

نتيجة إسقاط قيم R2 مقابل R1 لعيناتنا نجد أن جميع العينات تتمركز في القطاعات المخصصة للصخور المهلية البازلتية التركيب.

لدى اختبار مخطط الباحث (Middlemost, 1980)  $\text{Na}_2\text{O} + \text{K}_2\text{O}$  مقابل  $\text{SiO}_2$  الذي يحدد مجموعة من القطاعات والحالات تقابل بدورها مختلف الأنواع الصخرية المهلية نجد أن جميع العينات الصخرية المدروسة متوضعة في القطاعات المخصصة للصخور المهلية البازلتية . أيضاً عند اختبار مخطط (Irvin and Baragar, 1971)  $\text{K}_2\text{O} + \text{Na}_2\text{O}$  مقابل  $\text{SiO}_2$  نجد أن جميع عيناتنا تتمركز في المجال المخصص للصخور المهلية البازلتية ذات الطبيعة الغير مشبعة بالقلويات .

من أجل الفصل بين الصخور المهلية البازلتية القلوية عن الصخور المهلية البازلتية الغير مشبعة بالقلويات، اعتمد الباحث (Irvin and Baragar, 1971) على تغيرات قيم المحتوى الفلزى العياري ICPW عند إسقاط قيم عيناتنا على المخطط المذكور نجد أن معظم عيناتنا تتمركز أيضاً في المجال المخصص للصخور المهلية — البازلتية الغير مشبعة بالقلويات (subalkalibasalt).

فصل  $P_2O_5$  في مخططهما التصنيفي للمهل (Winchester and Floyd, 1976) مقابل  $Zr$  ما بين المهل البازلتية القلوية والمهل البازلتية الثلولوئية، يشير اختبار هذا المخطط لعيناتنا إلى أن معظمها تقع في المجال المخصص والمميز للصخور المهلية البازلتية ثلولوئية الطبيعة.

وضع (Miyashiro and Shido, 1975) مجموعة من المخططات الجيوكيمائية والبتروлогية تفصل ما بين المهل ذات الطبيعة الثلولوئية عن تلك المهل ذات الطبيعة الكلسية القلوية وحسب دراساتهم تبدي الصخور الكلسية القلوية علاقة ارتباط عكسية ما بين  $*FeO / MgO$  مقابل  $TiO_2$  وكذلك ما بين  $*FeO / MgO$  مقابل  $*TiO_2$  بينما تكون هذه العلاقة ايجابية في الصخور ذات الطبيعة الثلولوئية ، نجد عند اختبار المخططين  $*FeO / MgO$  مقابل  $TiO_2$  و  $*FeO / MgO$  مقابل  $*TiO_2$  أن جميع عيناتنا المدروسة تقع في المجال المخصص للصخور المهلية البازلتية الثلولوئية الطبيعة.

فصل الباحثان ( Miyashiro and Shido, 1975 ) في مخططيهما  $SiO_2$  مقابل  $*MgO / FeO$  و  $Cr$  مقابل  $SiO_2$  بين المهل البازلتية الثلولوئية الطبيعة عن تلك المهل البازلتية الكلسية القلوية ، إن إسقاط قيم عيناتنا المدروسة على هذين المخططين يظهر وبوضوح تمركز أغلبية العينات المدروسة عدا عينة واحدة في المجال المخصص للصخور

المهليه البازلتية ثولويتية الطبيعة، تؤكد هذه النتيجة أيضاً لدى اختبارنا المخططين التصنيفين الموضوعين من قبل الباحثين  $\text{Na}_2\text{O} + \text{K}_2\text{O}$ -  $\text{FeO}-\text{MgO}$  (Irvin and Baragar, 1971) و  $\text{Al}_2\text{O}_3$  مقابلاً (NPC).

حدّد (Jensen, 1976) في مخططه  $\text{Al}_2\text{O}_3 - (\text{FeO} + \text{TiO}_2) - \text{MgO}$  التصنيفي للمهل عدّة قطاعات تفصل بين مجموعة الصخور الكوماتوئيدية و الصخور المهليه البازلتية الكلسية القلوية والصخور المهليه البازلتية الثولويتية ، يتبيّن لدى إسقاط قيم عيناتنا الصخرية المدروسة على مخطط الباحث (Jensen, 1976) تمركز معظمها في القطاع المخصص للصخور المهليه البازلتية الثولويتية الطبيعة.

نتيجة لما سبق ذكره و تطبيقه يمكن القول أن جميع العينات الصخرية الأمفيبوليتيه المدروسة ذات تركيب بازلي تحت مشبع بالقلويات ثولويتي الخصائص.

### **تحديد الموقع الجيوتكتوني للصخور المهليه الأأم:**

حاول عدد كبير من الباحثين الجيوكيميائيين والبترولوجيين في العقود الأخيرين تحديد الموقع الجيوتكتوني الأولى التي تتشكل فيه الأنواع المتباينة والمختلفة للصخور المهليه المتنوعة وذلك من خلال دراستهم ومقارنتهم لمحتوى ووفرة وشكل توزع العناصر الكيميائية الرئيسة والثانوية في هذه الصخور لاسيما العناصر الكيميائية الثانوية والنادرة (Pearce and Gale, 1977) , (Beccaluva et al., 1979),  $\text{Ti}, \text{P}, \text{Mn}, \text{Zr}, \text{Nb}, \text{Y}, \text{Cr}$  مثل: (Pearce, 1975) , (Rittmann, 1973)

فصل (Pearce and Gale, 1977) الصخور المهلية المشكّلة ضمن الصفائح عن تلك الصخور المهلية المشكّلة في الموامش الصفائحية من خلال اعتمادهم على وفرة وتوزع العناصر الكيميائية ( $\text{Y}$ ,  $\text{Ti}$ ,  $\text{Zr}$ ) في مخططهم  $\text{Zr}/\text{Y}$  مقابل  $\text{Y}/\text{Ti}$  ، يظهر عند إسقاط عيناتنا على هذا المخطط توزيع هذه العينات في كلا المجالين المذكورين.

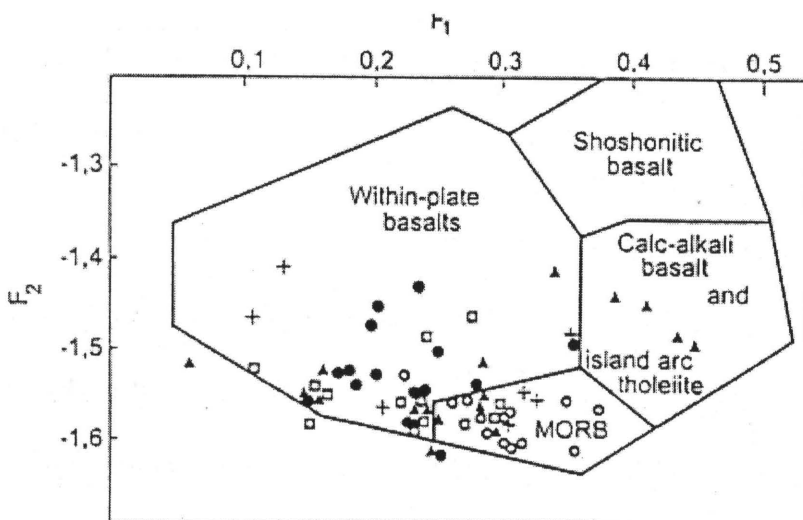
أمكن اعتماداً على نسبة توفر العناصر الكيميائية الرئيسية في الأنواع الصخرية المهلية المتباينة الخصائص والتراكيب تجريرياً وإحصائياً إلى تشكيل ثلاثة معاملات F1, F2, F3، ووضع مخططين بترولوجييين الباحث Pearce et al., 1976 الأول فيما للمعاملين F1 و F2 (شكل - ١٢) ويفصل بين المهل البازلتية المشكّلة ضمن الصفائح (W.P.B) والبازلت المشكّل في قاع الحبيبات (O.F.B) والبازلت الكلسي القلوبي مع البازلت الشولويتي الفقير بالبوتاسيوم (CAB+LKTB) وأخيراً صخور الشوسونيت (SHO)، بينما المخطط الثاني للمعاملين F2 و F3 (شكل - ١٣) ويفصل بين الصخور البازلتية الكلسيّة القلوية (LAB) والصخور البازلتية الشولويتية الفقيرة بعنصر البوتاسيوم (LKTB) نجد لدى إسقاط قيم F1 و F2 لعيناتنا على المخطط الأول أنها تتوزع في الحالين المخصوصين للصخور المهلية المشكّلة ضمن الصفائح (W.P.B) والصخور المهلية المشكّلة في مناطق أراضي الحبيبات (O.F.B)، بينما تتمركز لدى اختبارنا المخطط الثاني في القطاع المخصص للصخور البازلتية الشولويتية الفقيرة بالبوتاسيوم.

يظهر لدى إسقاط قيم عيناتنا على المخطط البترولوجي التصنيفي Cr / Ti مقابل Ni حسب الباحث (Beccaluva et al., 1979) تركز جميع العينات المدروسة في القطاع المخصص للصخور المهلية البازلتية المتشكلة ضمن الصفائح الحبيبية . بينما يدل إسقاط قيم

عيناتنا على مخطط الباحث (Rittmann, 1973) على تبعثرها في المجالين المخصصين لبركنة الأقواس الجزرية والبركنة ضمن الصياغية.

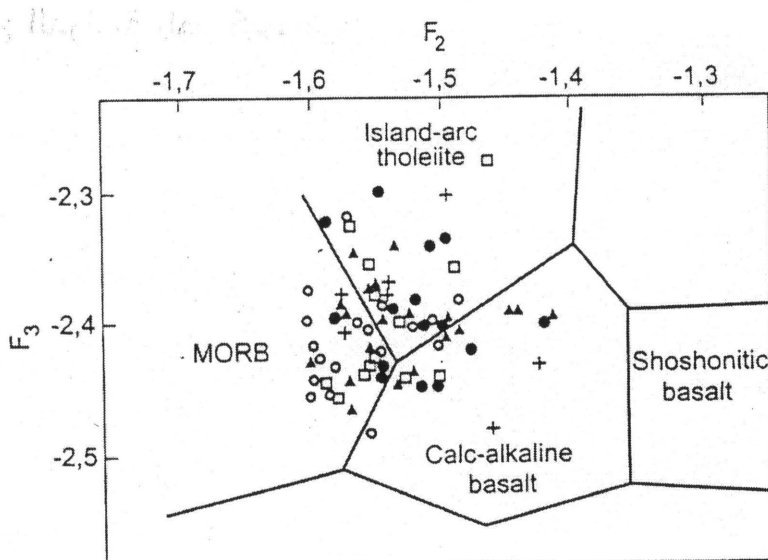
قارن الباحثان (Pearce and Cann, 1971) التراكيب الكيميائية للصخور المهلية المتباينة الطبيعية مع التراكيب الكيميائية للصخور المتشكلة في مناطق أواسط الأعراف الحيطية (MORB) واستطاع أن يفصل بين التراكيب المهلية المختلفة الطبيعية وأن يربطها مع موقع جيوتكتونية منشأة ، حسب دراسته تبدى الصخور المهلية البازلتية المتشكلة في مناطق الأقواس الجزرية اغتناء بالعناصر مثل Zn , K,P, Sr , Ba في حين تظهر افتقارا .Nb, Cr, Y, Ti, Zr للعناصر

نلاحظ لدى مقارنة متوسط محتوى عيناتنا المدروسة بالعناصر الكيميائية الرئيسية والثانوية مع متوسط هذه العناصر للمهل المتشكلة في منطقة أواسط الأعراف الحيطية والمقترحه من قبل الباحث (Huch, 1988) اغتناء صخورنا بالعناصر Zr , Sr, P , K , Rb ,Cr , Y (شكل - ١٤) مما يدعو للافتراض بأن عيناتنا المدروسة قد تشكلت غالبا في منطقة الأقواس الجزرية وهذه النتيجة تدعم ما توصل إليه الباحث (Kosters, 1991)

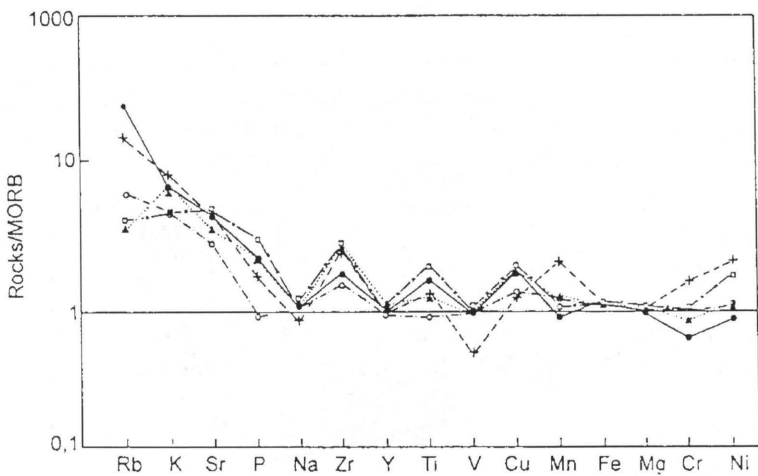


$F1 = 0.0088SiO_2 - 0.0774TiO_2 + 0.0102Al_2O_3 + 0.0066FeO - 0.0017MgO - 0.0143CaO - 0.0155Na_2O - 0.0007K_2O$ .  
 $F2 = -0.013SiO_2 - 0.0185TiO_2 + 0.0102Al_2O_3 - 0.0134FeO - 0.03MgO - 0.0204CaO - 0.0481Na_2O + 0.0715K_2O$ .  
 $F3 = -0.0221SiO_2 - 0.0532TiO_2 - 0.0361Al_2O_3 - 0.0016FeO - 0.031MgO - 0.0237CaO - 0.0614Na_2O - 0.0289K_2O$ .

شكل - ١٢ : F1 مقابل F2 عن الباحث (Pearce et al., 1976)



شكل - ١٣ : F2 مقابل F3 عن الباحث (Pearce et al., 1976)



شكل - ١٤ : مقارنة متوسط محتوى العناصر الكيميائية الرئيسية والثانوية للعينات المدروسة مع متوسط محتواها في صخور الـ MORB عن الباحث (Huch, 1988)

### نتائج الدراسة الجيوكيميائية:

نتيجة لوفرة محتوى وشكل توزع العناصر الكيميائية الرئيسية والثانوية والمعامالت البتروكيميائية لعيناتنا الصخرية الأمفيبوليتيّة المدروسة وإسقاط هذه القيم على مجموعة من الخططات التصنيفية الجيوكيميائية والبترولوجية بجد :

- جميع عيناتنا الصخرية الأمفيبوليتيّة المدروسة لها غالباً طبيعة مهليه G15, G13.
- جميع العينات تعود لمادة صخرية مهليه طازجة غير فاسدة.
- معظم عيناتنا المدروسة لها تراكيب مهليه غير مشبعة بالقلويات كما وتظهر تفاصلاً مهلياً محدوداً يصل للحد ما بين الصخور البازلتية والصخور الأنديزيتية.
- جميع العينات المدروسة لها تراكيب مهليه بازلتية الخصائص وثولوئيتية الطبيعة.
- تعود العينات الصخرية المدروسة بتشكيلها بجزء منها إلى مناطق قيعان الخيطات وبجزء آخر إلى مناطق الأقواس الجزرية.

**REFERENCES:**

1. Beccaluva, L.;D. Ohnenstetter and M.Ohnenstetter. (1979): Geochemical discrimination between ocean floor and island-arc tholeiites-application to some Ophiolites. In: Can. J. earth Sc.-Ottawa 16.S. 1874-1882.
2. Beuge, P. (1989): Zur Geochemie pelitischer Gesteine im prozess der Regionalmetamorphose. Freiberg. Bergakad., Diss. B.
3. Brown. E.H., (1977) : The crossite content of Ca-amphibole as a guide to pressure of metamorphism. - Journ. Petrol.. 18:53-72.
4. Bucher.K. and M.Frey., (1994):Petrogenesis of Metamorphic Rocks.,Springer Verlag.318 S.
5. Chenevoy.M.,(1959) : le substratum métamorphique des roches vertes dans le Baer et le Bassit. Notes et Memoires sur le Moyen-Orient,T.7.1-18.
6. Delaloye, M.; De H.Souza; J.J. WagnerandI.Hedley (1980b): Isotopic ages on ophiolites from the eastern Mediterranean. In: A.Panayiotou (Ed.), Ophiolites. Proc. Intern. Ophiolite Symp. , Cyprus 1979, P.292-295.
7. Dubertret, L. (1953): Geologie des roches vertes du nordouest de la Syria et du Hatay (Turquie). Notes Mem. Moyen-Orient. 6.227p.
8. Evans, B.W.andB.E. Leake (1960): The composition and origin of the striped amphibolites of Connemara, Ireland. - In: J.Petrol. - Oxford 1., p.337-363.
9. Frohlich, F. (1960): Ein Beitrag zur Geochemie des chroms. Geochem. Cosm. Acta 20, 215-240.
10. Huch, K.M. (1988): Die Panafrikanische Khzama-Geosuture im zentralen Anti-Atlas. Marakko -172S. ; Berlin (SchelzkyandJeep).
11. Irvin, T.N.andW.R.A. Baragar. (1971): A guide to the classification of the common volcanic rocks. - In: Can J.Earth Sc. Ottawa 8. p. 523-548.
12. Jensen, L.S. (1976): A newcation plot for classifying subalkaline volcanic rocks. - In: Ontario Dep. Mines: Paper. - Ontario, 66.
13. Juteau, T. (1980): Ophiolites of Turkey. - Ofioliti (Spec. Issue) 2:199-237p.

14. Kazmin, V.G, and V.V Kulakov, (1968): Geological Map of Syria sheet Bassit 1/50,000 explanatory notes: 124p. Mini. of petrol. and Mineral Resources,Syria.
15. Kosters, B. (1991): Geochemie und Petrogenese des Peridotit und der Chromiterzvorkommen des Ophiolith-Komplexes im Bassit Gebiet (NW-Syrien). Diss. Naturwiss. Munster, 125S.
16. Lange, H. (1965): Zur Genese der Metabasite im sachsenischen Erzgebirge. - Leipzig, 136 S. - (Freiberger Forschungshefte: C-177).
17. La Roche, H. De.; J.Leterrier; P. Grandclaude; M.Marchal. (1980): A classification of volcanic and plutonic rocks using R1-R2- diagram and major-element analysis. - In: Chem. Geol. - Amsterdam 29., P. 721-736.
18. Leake, B.E. (1978): Nomenclature of amphibolites. - Amer. Mineral., 63: 1023-1052, Washington D.C.
19. Leake, B.E. (1964):The chemical distinction between Ortho-and Paraamphibolites.-In:J.Petrol.-Oxford 5.p.238-254
20. Lorenz. W. ,(1980) : Petrographische Nomenklatur metamorpher Gesteine. I. Grundlagen. Konzeption. Systematik. In: Z.geol. Wiss. - Berlin 8;12. - S.1479- 1509.
21. Lorenz. W., (1981a) : Petrographische Nomenklatur metamorpher Gesteine. II. Klassifikatorische und Nomenklatorisch Spezialfragen. In: Z. Geol. Wiss. - Berlin 9 - S. 137-156.
22. Lorenz. W., (1981b) : Petrographische Nomenklatur metamorpher Gesteine. III. Generalisierung und Extrapoletionen. In:Z. Geol. Wiss. - Berlin 9-4. - S.417-426.
23. Majer,V., (1962) :Magmatisch Gesteine um Gebiet von Bassit zwischen Latakia und Kessab im nordwestlichen Syrien.Neves.Miner.,Abh.,98.250-282S.
24. Mathe.G.,(1985):Metamorphite.In:Pfeiffer,L;Kurze,M;Mathe,G:Einfuhrung in die Petrologie.-Berlin.442-565S.

25. Middlemost, E.A.K. (1980): A contribution to the nomenclature and classification of volcanic rocks. - In: Geol. mag. - London. 117., p. 51-57.
26. Miyashiro, A. (1975a): Classification, characteristics, and origin of ophiolites. - In: geol. - Chicago 83. p. 249-281.
27. Miyashiro, A. (1975b): Volcanic rock series and tectonic setting. - In: Ann. rev. earth plan. Sc. - palo. Alto 3., p. 251-269.
28. Miyashiro, A.andF.Shido. (1675): Tholeiitic and calc-alkali series in relation to the behaviors of titanium, vanadium, chromium, and nikel. In: Amer. J. Sc. - New Haven 275. p. 265-277.
29. Papike . J.J., Cameron. K.L.and Baldwin. K. (1974) :Amphibol and Pyroxenes: character of other than quadrilateral components and estimates of ferric iron from microprobe data.. Geol. Soc. Am.. Abstr. with program. 6. Boulder. Colorado.
30. Parrot, J.F. (1977): Assemblage ophiolitique du Baer-Bassit et termes effusifs du volcano - sedimentaire Tra. et Doc. de 1 O.R.S.T.M. (these) 333p.
31. Parrot, J.F. (1980): The Baer-Bassit (Northwestern; Syria) ophiolitic area- Ofioliti (Spec. Issue) 2, 279-296; Bologna.
32. Parrot, J.F.and H.Whitechurch (1978): Subductions anterieures au charriage nord-sud de la croute tethysaenne: Facteure de metamorphisme du volcano-sedimentaire oceanique en schistes verts et amphibolites lies aux assemblages ophiolitiques syro-turcs. Rev. Geogr. Phys. Geol. dyn., 2:153-170.
33. Pearce, J.A. (1975): Basalt geochemistry used to investigate past tectonic environment of Cyprus., - In: Tectonophys. - Amesterdam 17. p. 15-43.
34. Pearce, J.A.and J.R. Cann (1971): Ophiolite origin invesrtigated by discriminant analysis using Ti, Zr, and Y. - In: Earth plane. Sclett. - Amsterdam 12.p. 339-349.
35. Pearce, J.A.and G.H.Gale (1977): Identification of ore depositions environment from trace elements geochemistry associated to igneous hostrocks. - In: Volcanic processes in ore genesis/ed. M.J. JONES. London, p. 14-24. (Inst.min.metall. Geol.Geol.Sec. : spec.publ.:7).

36. Pearce, J.A.T.H. Gormanand,T.C. Birkett (1976): The relationship between major element chemistry and tectonic enviroment of basic and intermediate volcanic rocks. - In: Earth plan. Sc. lett. - Amsterdam 36. p. 121-132.
37. Pichler. H., and Schmitt - Riegraf (1993) : Gesteinbildende Minerale im Dunnenschliff. Enke. Stuttgart S.230.
38. Piro. Y., (1967) : Contribution al etude des Roches verts du Nord-Ouest de la Syrie thesis 3eme cycle Montpellier 142p. (Multigr).
39. Plyusnina. L.B., (1982) : Geothermometry and Geobarometry of Plagioclas - Hornblende earring assemblages. - Contrib. Mineral. Petrol.. 80: 140-146 Berlin - Heidelberg 1982 .
40. Rittman, A., (1973): Stable mineral assemblages of igneous rocks. - Berlin, Heidelberg. - p. 262.
41. Rosler. H. J., (1983) : Lehrbuch der Mineralogie VEB-Deut. Verlag fur Grundstoffindustrie.Leipzig. 833 S .
42. Safarjalani.A., (1996) :Petrographical and Geochemical Study of Metabasitic and Amphibolitic Metamorphic Rocks in the Ophiolite complex in the Baer and Bassit (N.W.Syria) Report On Scintific Study Department of Geology and Nuclear Ores (AECS) 110p.
43. Safarjalani. A., and J. Eidam (1997) : Geochemistry and initial geotectonic setting of amphibolitic rocks outcropped in the Baer-Bassit area (Northwest Syria). Z.Geol.Wess. ,Band 25, Heft 5 - 6, 541 – 554 S.
44. Seim. R., (1967) : Der Para - Biotit - Plgioklasgneis des Kyffhauserkristallins seine metatektischen Derivate und seine Einlagerungen. - Geol. 16. Beih. 56:1-85.
45. Siegferd, M. (1988): Mineralogie:Eine Einfuhrung in die speziellen Mineralogie, Petrologie und Lagerstattenkunde. 2. Auflage.
46. Spear. F.S., (1980) : NaSi-CaSi exchange equiliberium between plgioclase and amphibole. - Contr. Mineral. Petrol.. 72. 33-41.
47. Spear. F., (1981a) : An experimental study of hornblende stability and compositional variability in amphibolite.. - Amer. - J.S.Sci.. 281: p. 697-734.

48. Spear. F., (1981b) : Amphibole-plagioclase equilibria: An empirical model for the relation albite -tremolite=edenite+4quartz. -Contrib. Mineral. Petrol. 77:p.355-364.
49. Thuizat ,R.;H.Whitechurch.,R.MontignyandT.Jutea.(1981):K-Ar dating of some infra-ophiolitic metamorphicsoles from the Eastern Meditteranean:New evidence for oceanic thrustings before obduction.Earth Planet.Sci.Lett52,302-310.
50. Vallance, T.G., (1974): Spilite degradation of a tholeiitic basalt. - In: J.petrol. - Oxford 15. -p. 79-96.
51. Van de Kamp, P.C. (1968): Geochemistry and origin of metasediments in the Haliburton-Modac area, Southwestern Ontario. - In: Can. J. earth Sc. - Ottawa 5. p. 1337-1372.
52. Walker, K.R.; Joplin, G.A.; Lovering, J.F.; R Green (1960): Metamorphic and metasomatic convergence of basic igneous rocks stern Q eensland. - In: J.Geol. Soc. Australia. - Sydeny 6. -p. 149-178.
53. Whitechurch. H., and J.F. Parrot., (1974) : Les ecailles métamorphiques Infraperidotitiques du Bear - Bassit. Cah. Orstom 6. 173-184.
54. Whitechurch. H., (1977): Les roches métamorphiques infraperidotitiques du Baer-Bassit (Nw Syrien). Termoins de L ecaillage intraoceanique tethysien. Etude petrologique et structural. Thesis (unpubl.) Nancy. Univ. Franc. 194pp.
55. Wimmenauer. W., (1985) : Petrographie der magmatischen und metamorphen Gesteine. Enke Verlag. - Stutt - gart. 382S.
56. Winchester, J. A; P.A. floyd (1976): Geochemical magma type discrimination appl. to altered and metamorphosed basic igneous rocks. - In: Earth plan. Ac. lett. - Amsterdam 28. -p. 459-469.
57. Winkler. H.G.F., (1965) : Die Genese der metamorphen Gesteine - Berlin Heidelberg:218S.

## Petrography and Geochemistry of the metamorphic amphibolitic rocks associating the Baer-Bassit ophiolithe ( Northwest Syria )

A.M. Safarjalani

King Faisal University-Faculty of Food and Agriculture P.O.Box 420-31982 Al -Hofuf-Saudi Arabia.  
Damascus University- Faculty of Agriculture Land. Soil reclamation Division- Damascus P.O. Box  
30621- Syria.

### Abstract

Petrography of metamorphic rock samples from amphibolitic rocks outcropped in Baer-Bassit area enabled the mineralogical composition, structures, textures and hence the classification of these rocks to be defined .

The plotting of minerals percentages of the studied samples onto classification diagrams of (LORENZ) confirms that all of these samples lie in the field assigned to amphibolitic rocks .

The mineralogical paragenesis of the studied samples is in conformity with those of green schist up to amphibolite facies . The mineralogical analysis carried out by the use of electron microscope on plagioclase and hornblende in amphibolite samples set a metamorphism temperature between 500 - 650 °C and a metamorphism pressure between 2,5 - 5 K bar.

The geochemistry of these samples proves clearly and decisively that these rocks are derived from initial matter of orthogenic nature, possessing the characteristics of a fresh non-altered basaltic tholeiitic composition in part hence forming an oceanic floor and partially an island arc.